

Nanoszerkezetek és biomarkerek a gyógyítás szolgálatában

Dékány Imre
MTA r.tagja

MTA SZTE Szupramolekuláris és Nanoszerkezetű Anyagok

Kutatócsoporthoz

SZTE AOK Orvosi Vegytani Intézet

Szeged, Dóm tér 8.

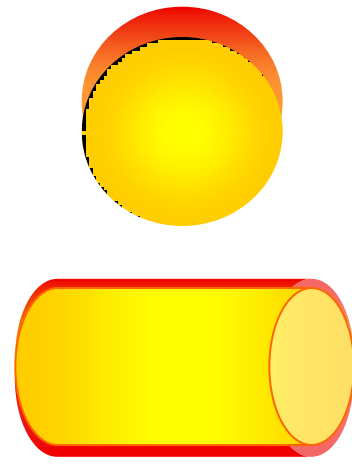
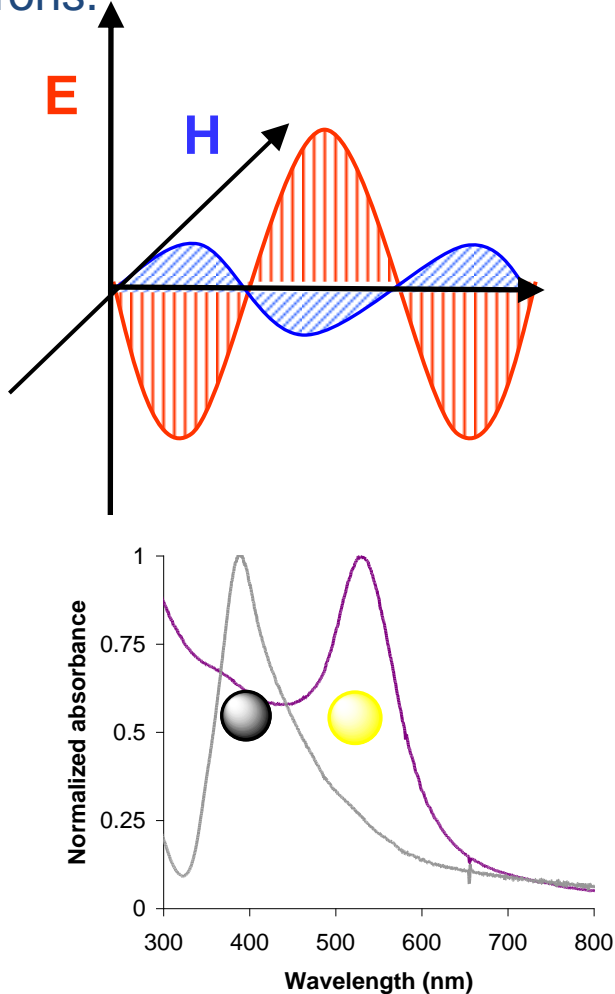


Tartalmi összefoglaló

- SPR 2D technológia alkalmazása az adszorpció kvantitativ mérésére: aminosavak és proteinek
- Hatóanyagok és toxikus molekulák megkötése funkcionálisált Au felületeken
- Au nanorészecskék lipid membránokban
- Au plazmonikus csatolás biomolekulákkal
- Hatóanyagok nanokapsulázása

Au és Ag nanorészecsék optikai tulajdonságai

Surface plasmon resonance (SPR) \Rightarrow These phenomena occur when electromagnetic field interacts with conduction band electrons and induces the coherent oscillation of electrons.



transverse oscillation
(TSP)

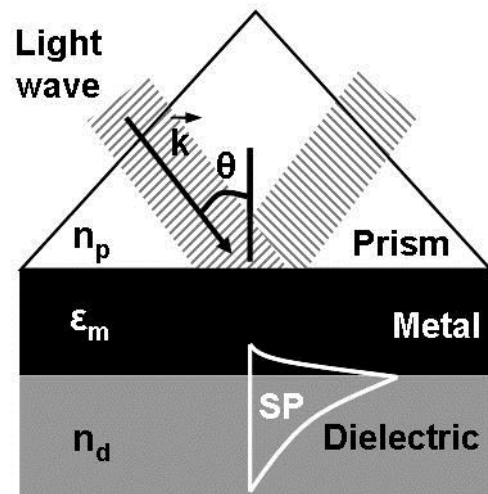


longitudinal oscillation
(LSP)

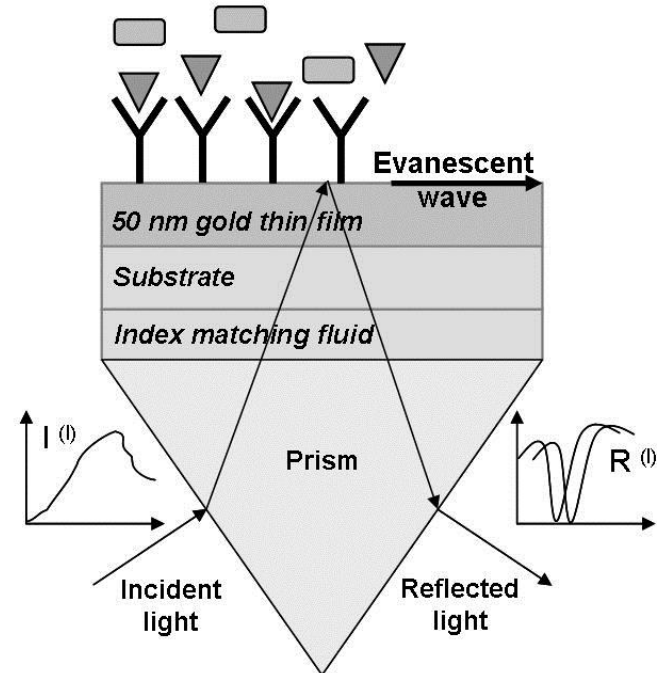
$$\text{Ag TSP} : \lambda_{\max 1} = 385 - 420 \text{ nm} \sim 1/r$$

$$\text{Au TSP} : \lambda_{\max 1} = 500 - 550 \text{ nm} \sim 1/r$$

Az SPR mérés kísérleti elrendezése

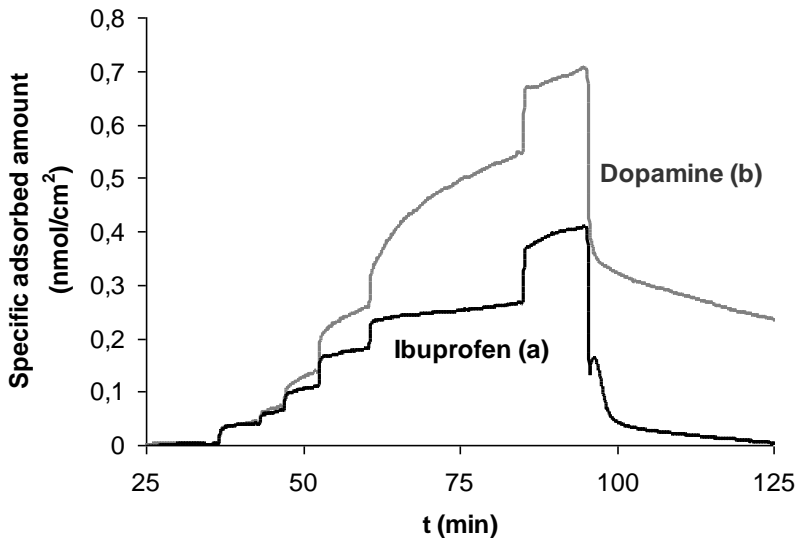


The prism coupling (Kretschmann-configuration) in SPR technique

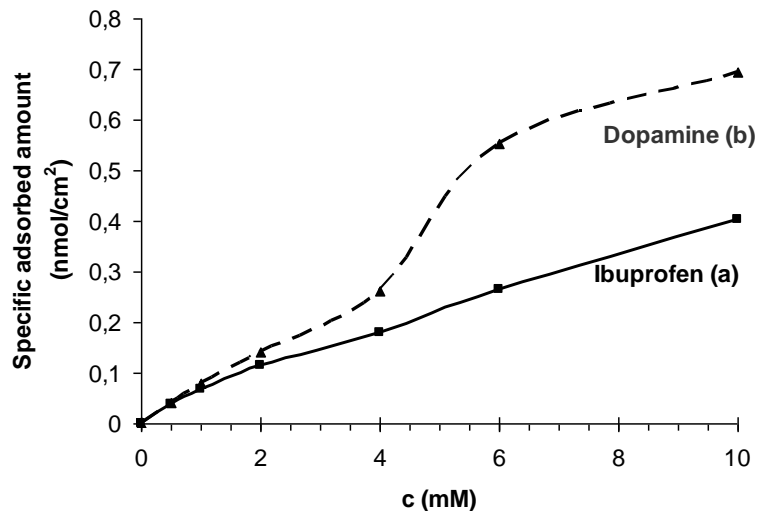


Schematic representation of
Kretschmann-configuration

SPR mérések és adszorpciós izotermák

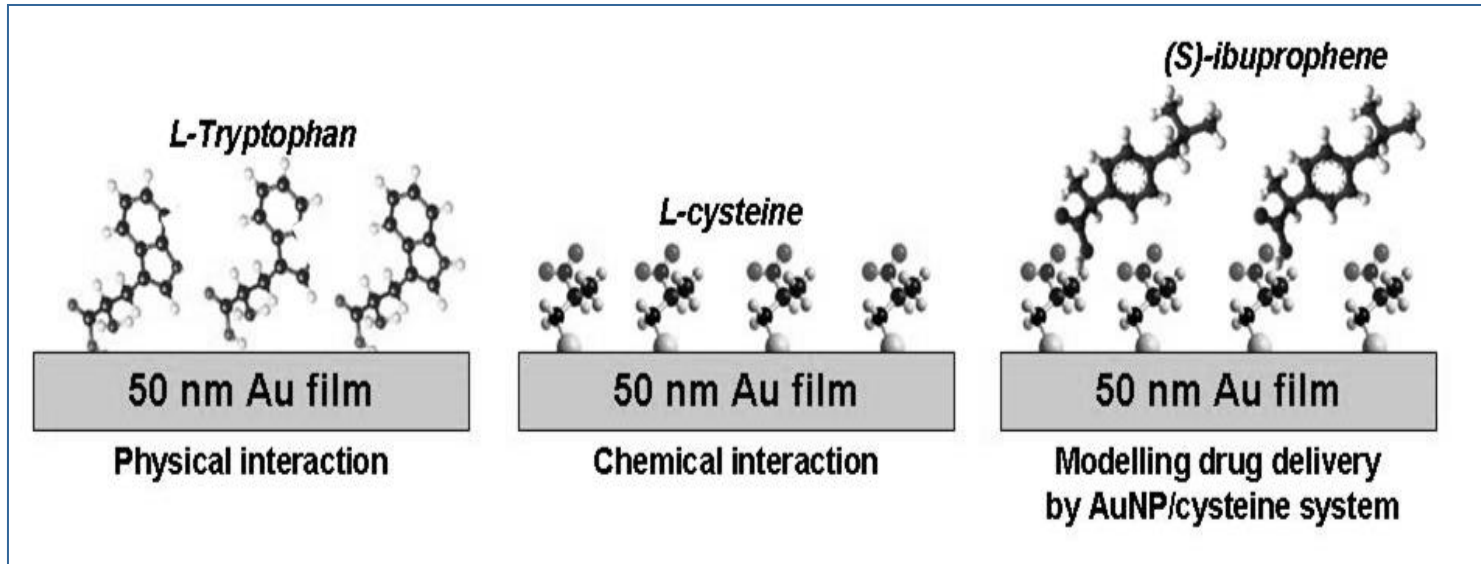


The plasmonic curves of adsorption of (a) ibuprofen and (b) dopamine on gold surface at different concentrations (0.5, 1, 2, 4, 6, 10 mmol/dm³ aqueous solutions)

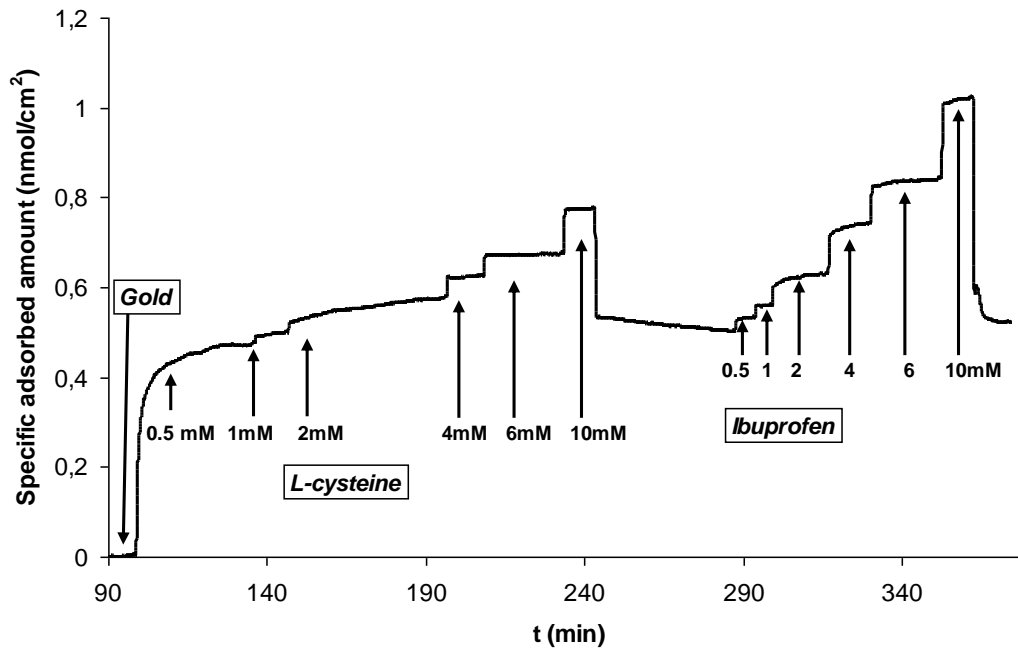


The adsorption isotherm of (a) ibuprofen and (b) dopamine from aqueous solution on gold surface

Adszorpció és felületi orientáció



SPR mérések: Au-cisztein- ibuprofen rendszer



The plasmonic curves of adsorption of ibuprofen on *L*-cysteine functionalized gold surface from aqueous solutions (at 0.5, 1, 2, 4, 6, 10 mmol/dm³ concentrations)

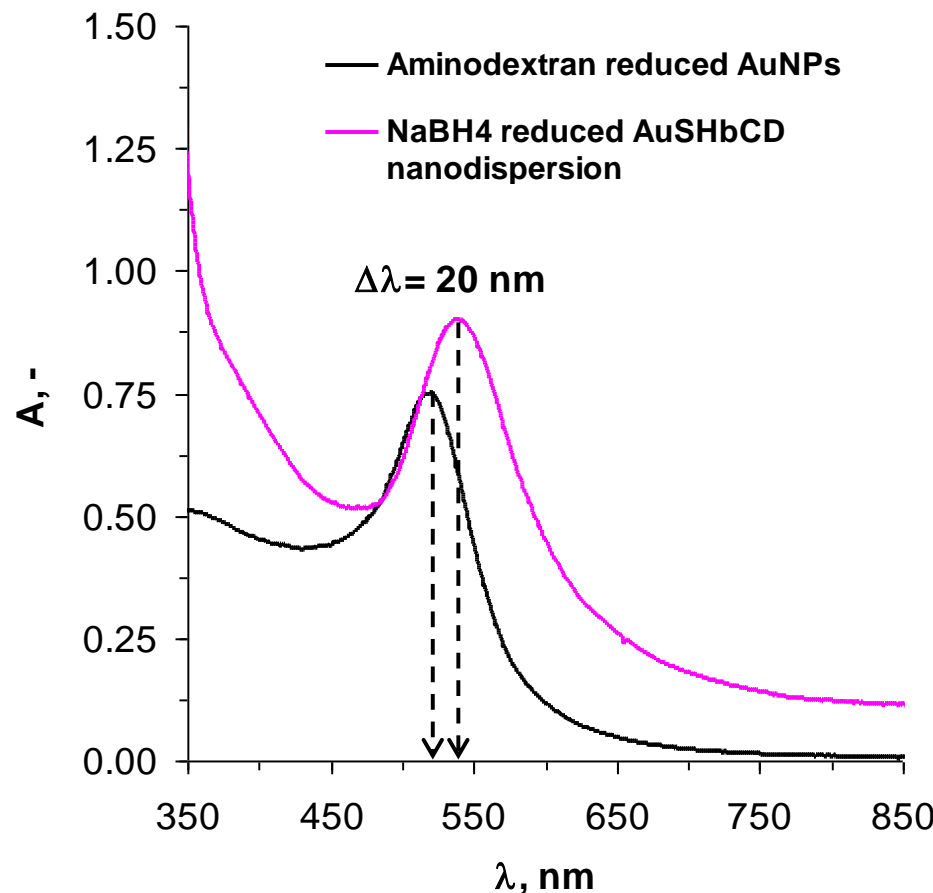
Table 1. The monolayer adsorption capacities (G_{mono}) and molecular cross section areas (a) on gold surface for different bioconjugated systems as obtained from adsorption isotherms

Molecules on gold surface	Monolayer capacity, $\Gamma_m/\text{nmol cm}^{-2}$ Eq. (5)	Cross sectional area, a_m/nm^2 Eq. (6)	$a_m/a_{m,\text{calc}}$	Calculated cross sectional area * $a_{m,\text{calc}}/\text{nm}^2$	Surface orientation
L-Cysteine	0.325	0.513	1.425	0.360	parallel
L-Glutathion	0.135	1.234	1.505	0.820	parallel
Ibuprofen	0.330	0.505	0.789	0.640	parallel
Dopamine	0.860	0.194	0.359	0.540	perpendicular

Molecules on functionalized gold surface	Adsorption capacity, $\Gamma_m/\text{nmol cm}^{-2}$ Eq. (5)	Cross sectional area, a_m/nm^2 Eq. (6)	$a_m/a_{m,\text{calc}}$	Calculated cross section area, $*a_{m,\text{calc}}/\text{nm}^2$	Surface orientation
L-Cyst-Ibuprofen	0.325	0.513	0.801	0.640	parallel
L-Glut-Ibuprofen	0.180	0.926	1.447	0.640	parallel
L-Cyst-Dopamine	0.640	0.260	0.481	0.540	perpendicular
L-Glut-Dopamine	0.580	0.287	0.531	0.540	perpendicular

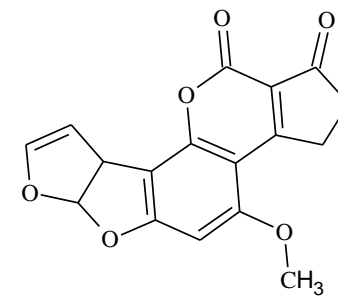
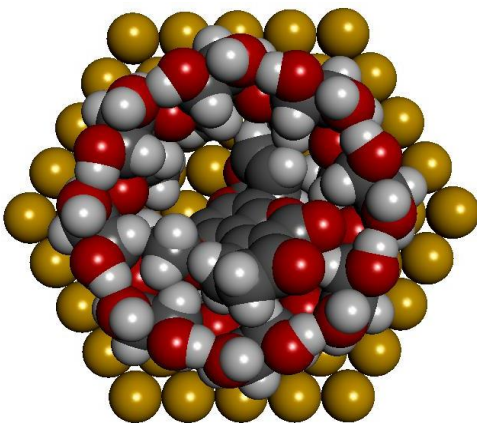
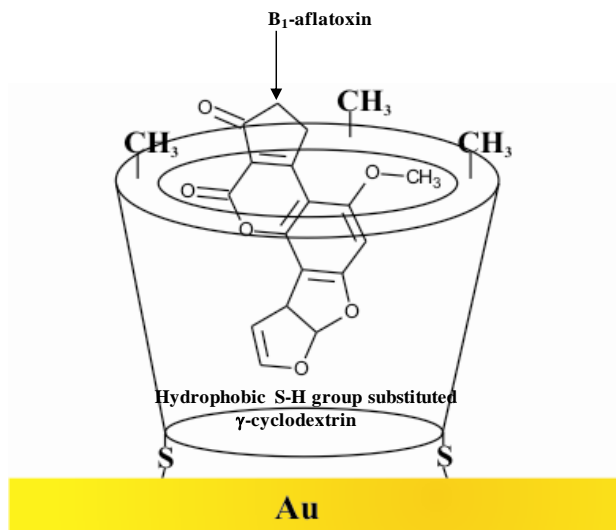
Arany nanoszenzorok aflatoxinok kimutatására

UV-Vis plazmonikus spektrumok

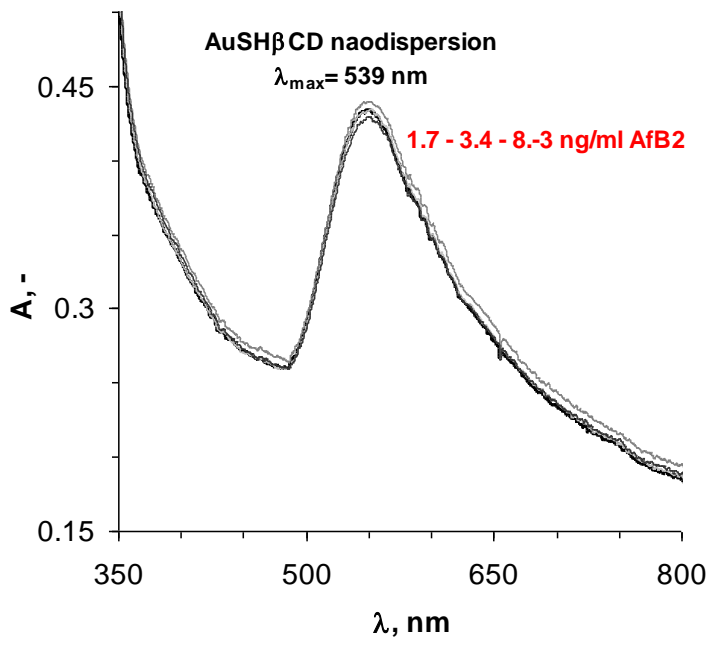


The changes of plasmon bands of aminodextran reduced gold nanodispersion and AuSH β CD gold nanodispersions (164 mg/ml; 0.5 mM Au) registered by UV-Vis spectroscopy.

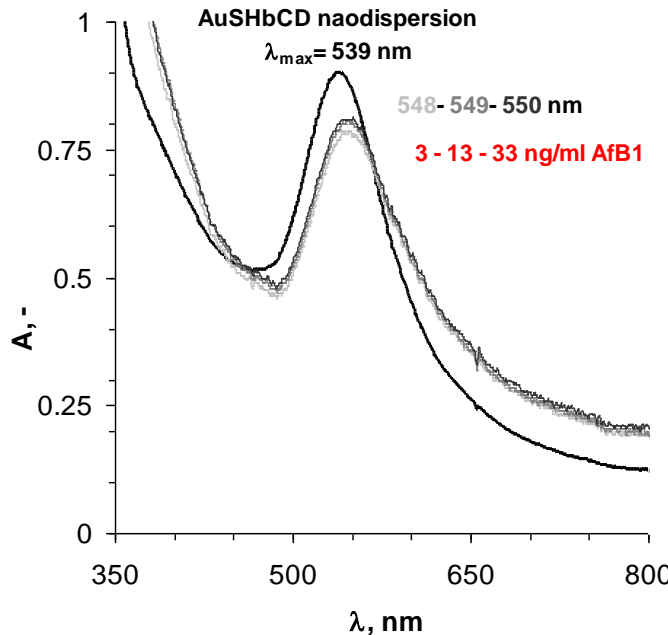
UV-Vis mérések



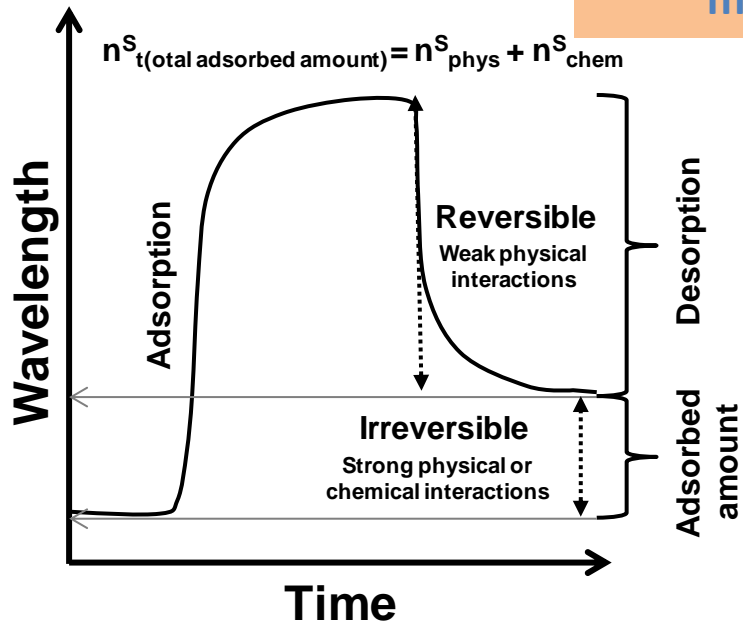
Attachment of Aflatoxin B1 molecules to cyclodextrin modified gold surface and β -cyclodextrin on gold crystal surface (111).



The changes of plasmon bands of AuSH β CD gold nanodispersions (164 mg/ml; 0.5 mM Au) added AfB1 (in concentration range 3-33 ng/ml AfB1 and 1.7-8.3 ng/ml AfB2) to the solution are also registered by UV-Vis spectroscopy in dilute acetonitrile solution.



SPR mérések AfB1 molekulával



1) Aflatoxin B1 (AfB1) molecules

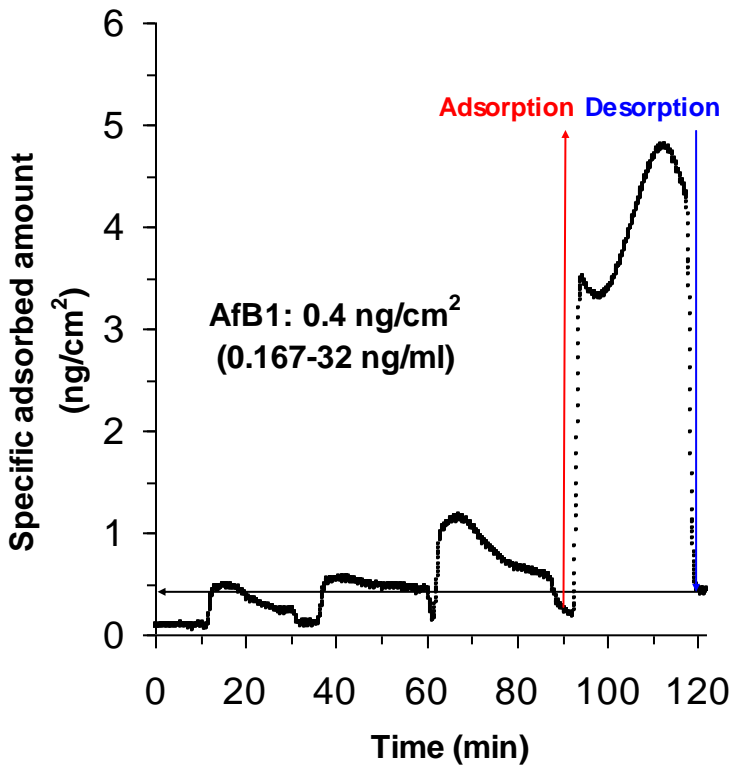
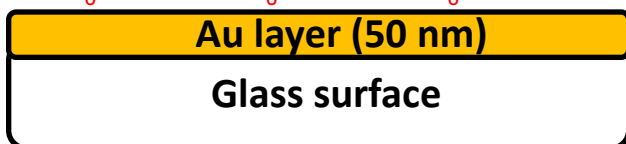
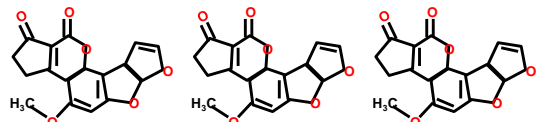
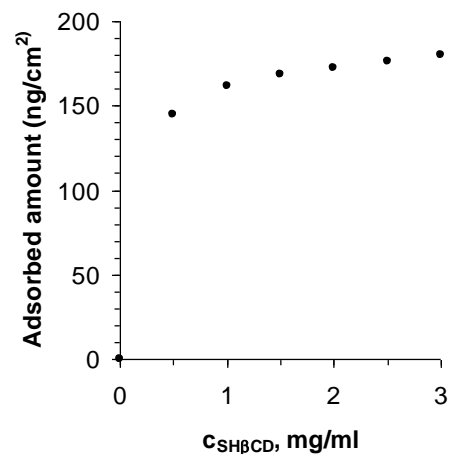
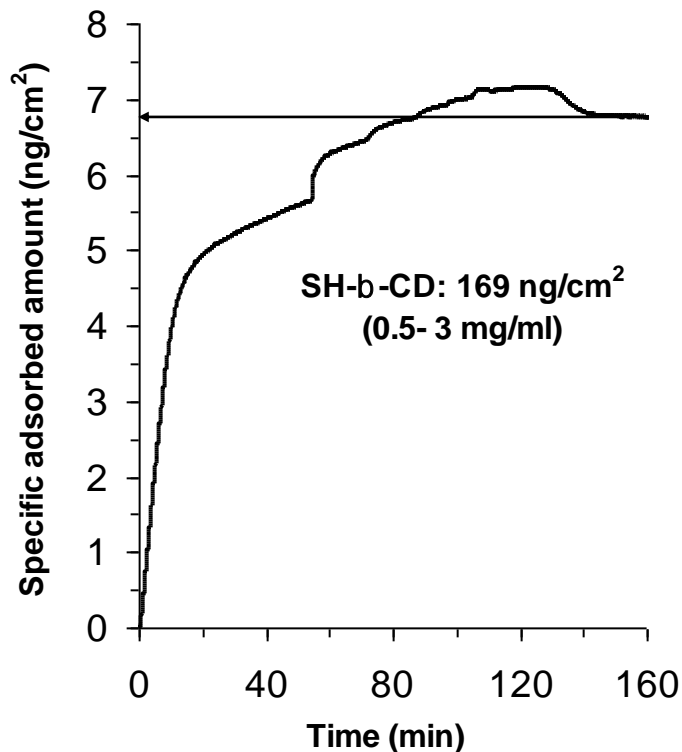
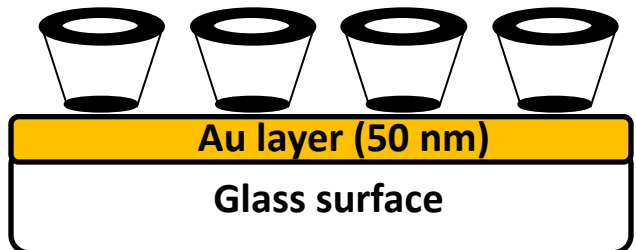


Fig. 7. Results of SPR measurements: AfB1 solution (0.167-32ng/ml) to gold surface.

2)

SH modified β CD (β CD-SH) molecules



3)

AfB1 to β CD-SH covered surface

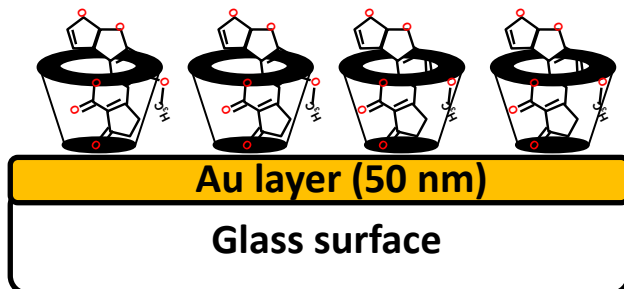
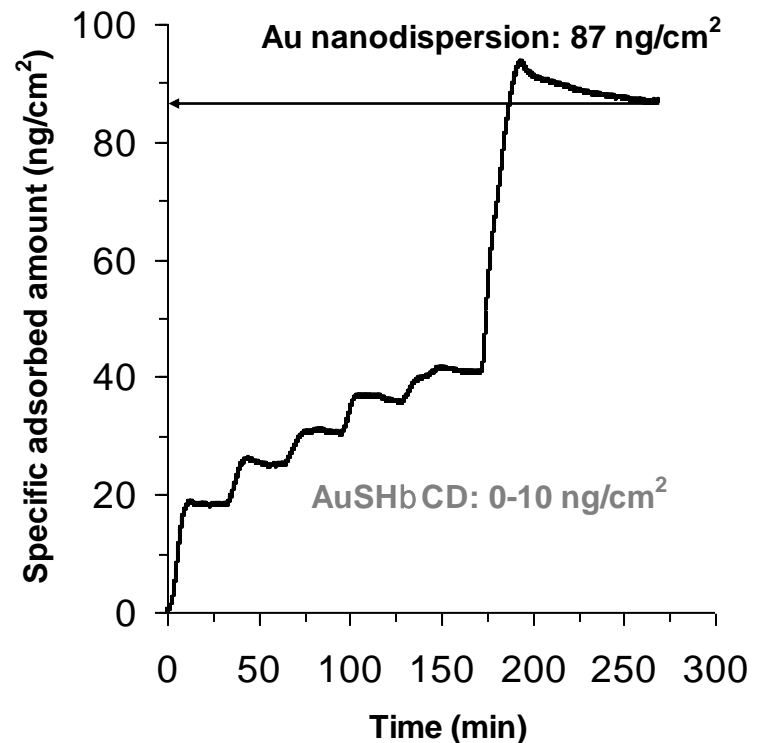
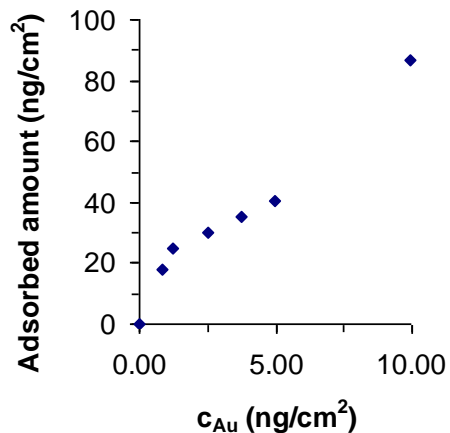
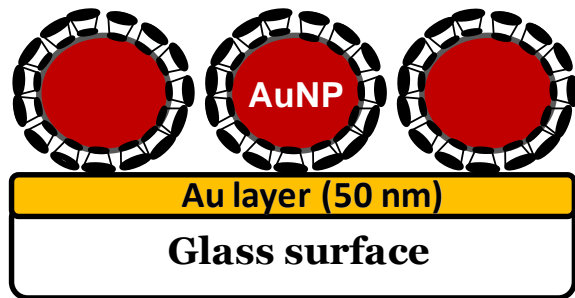


Fig. 8. Results of SPR measurements: β CD-SH (0.5-3 mg/ml) to gold surface.

4)

AuNPs with β CD-SH (β CDAuNPs)



Results of SPR measurements: AuSH β CD gold nanodispersions (0-10 ng/ml Au).

5) AfB1 molecules attach to β CDs holes of β CDAuNPs

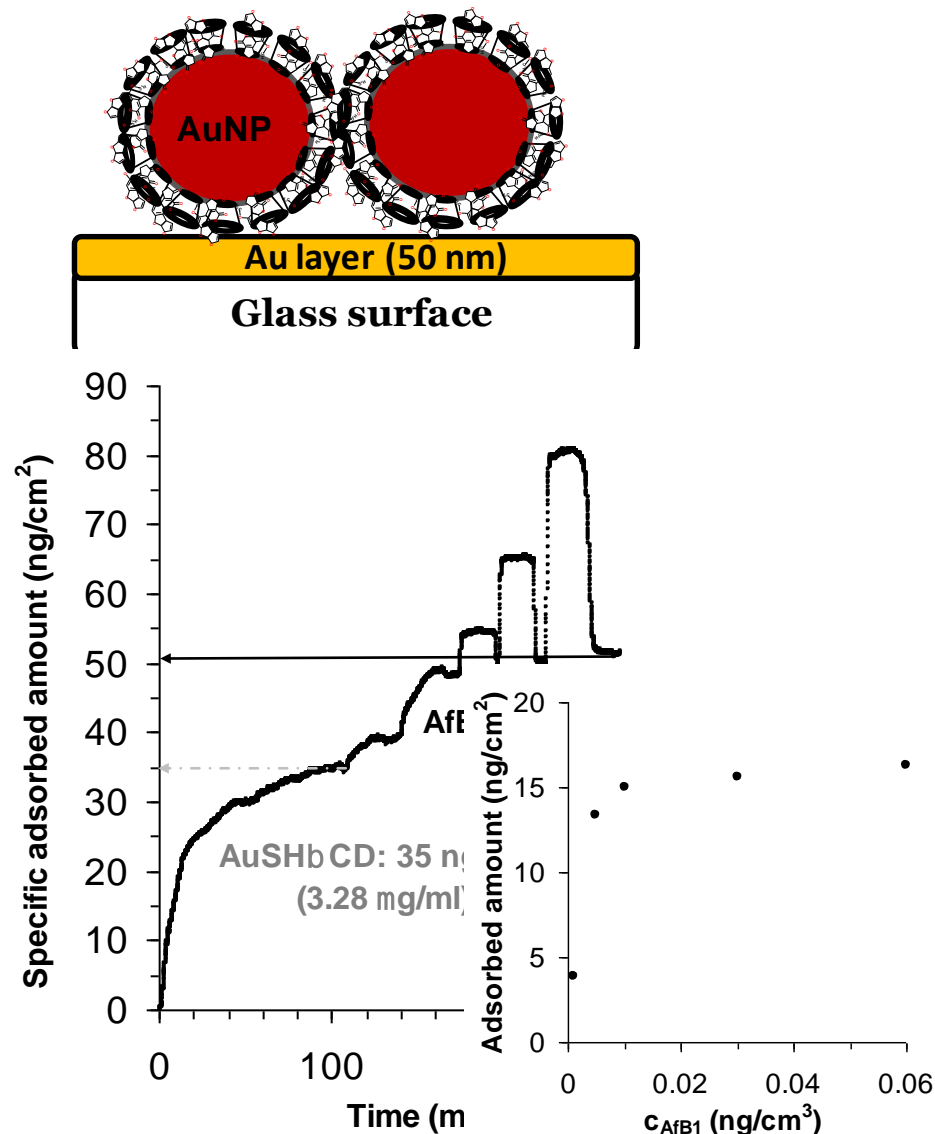
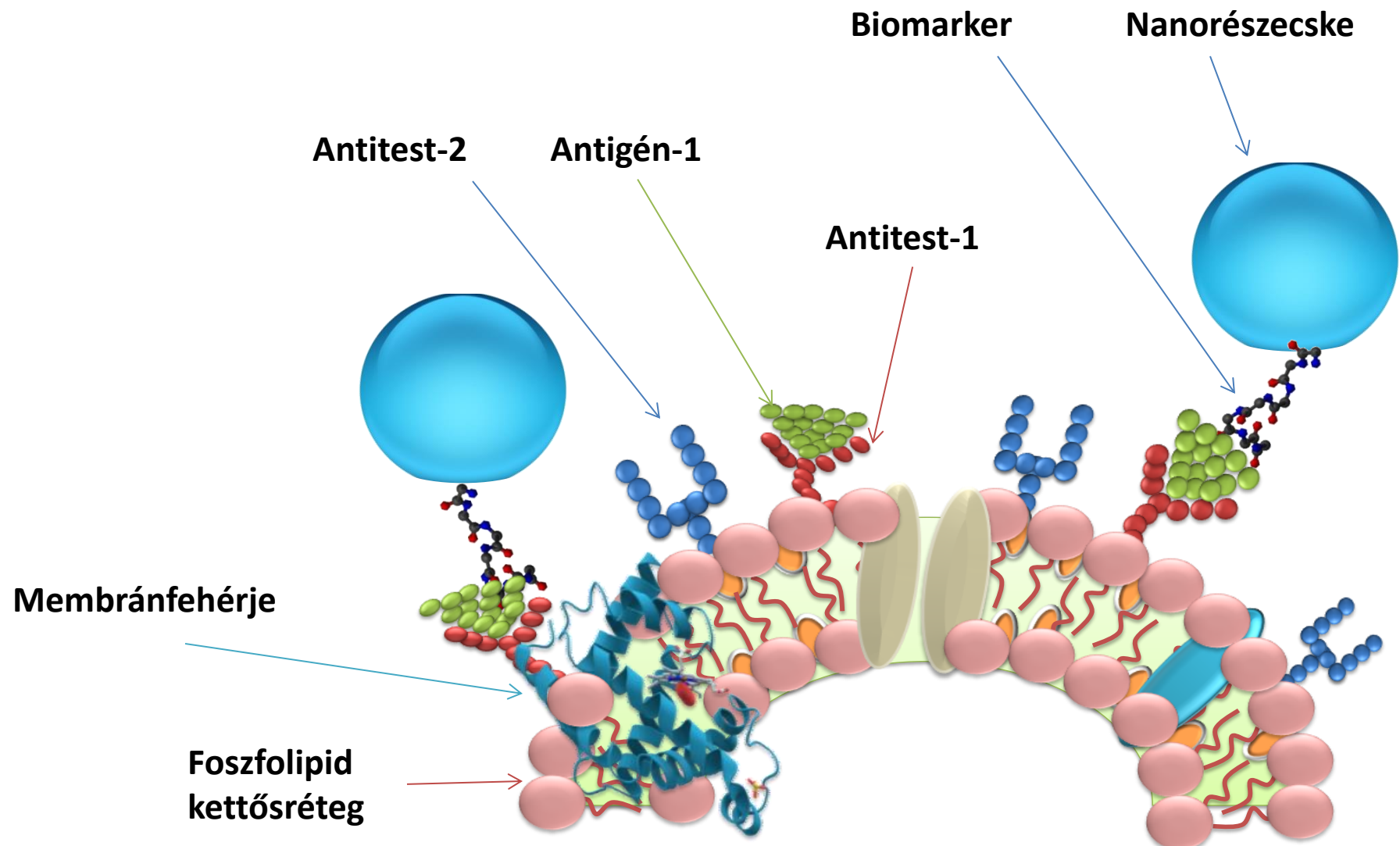
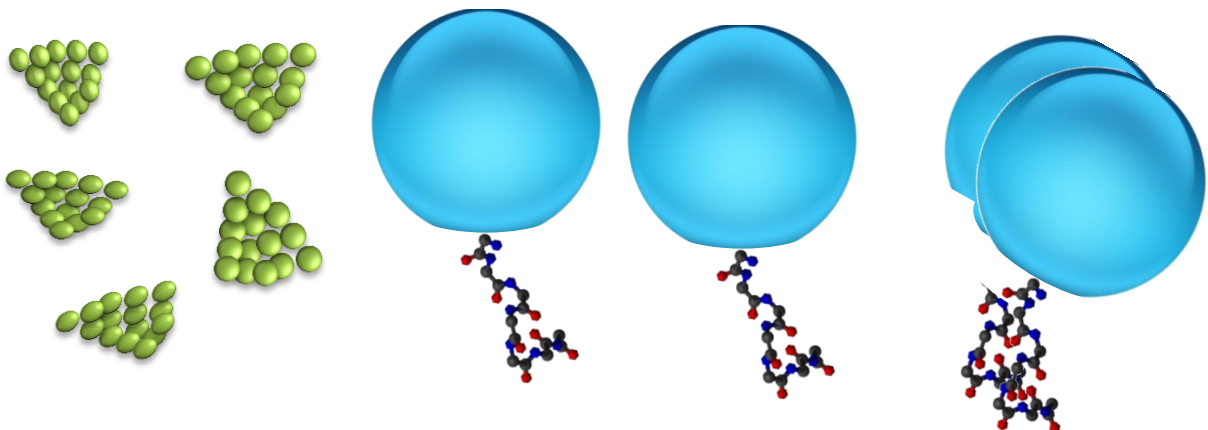
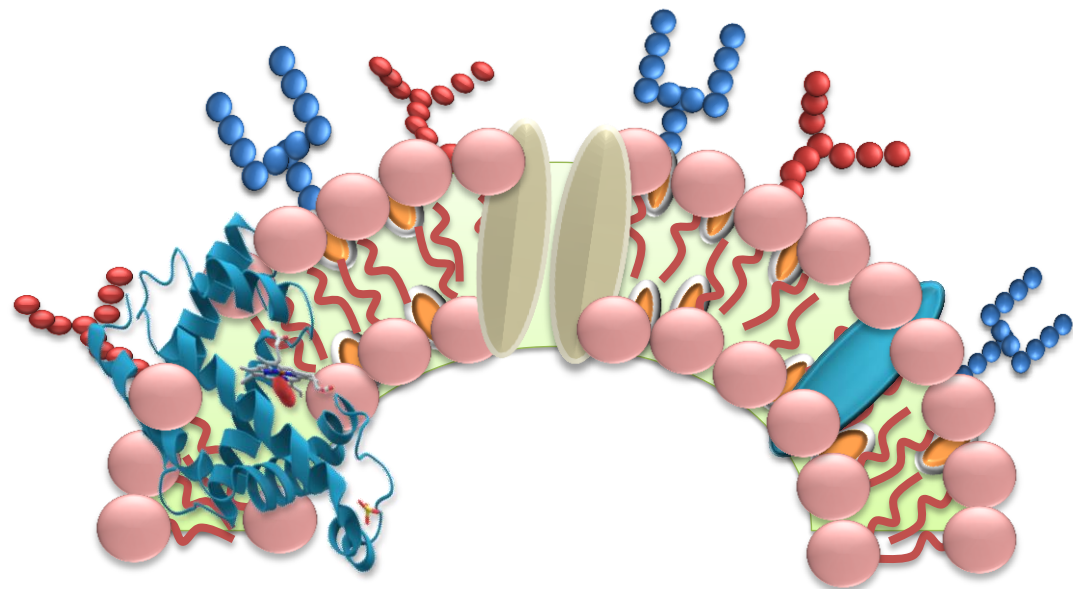


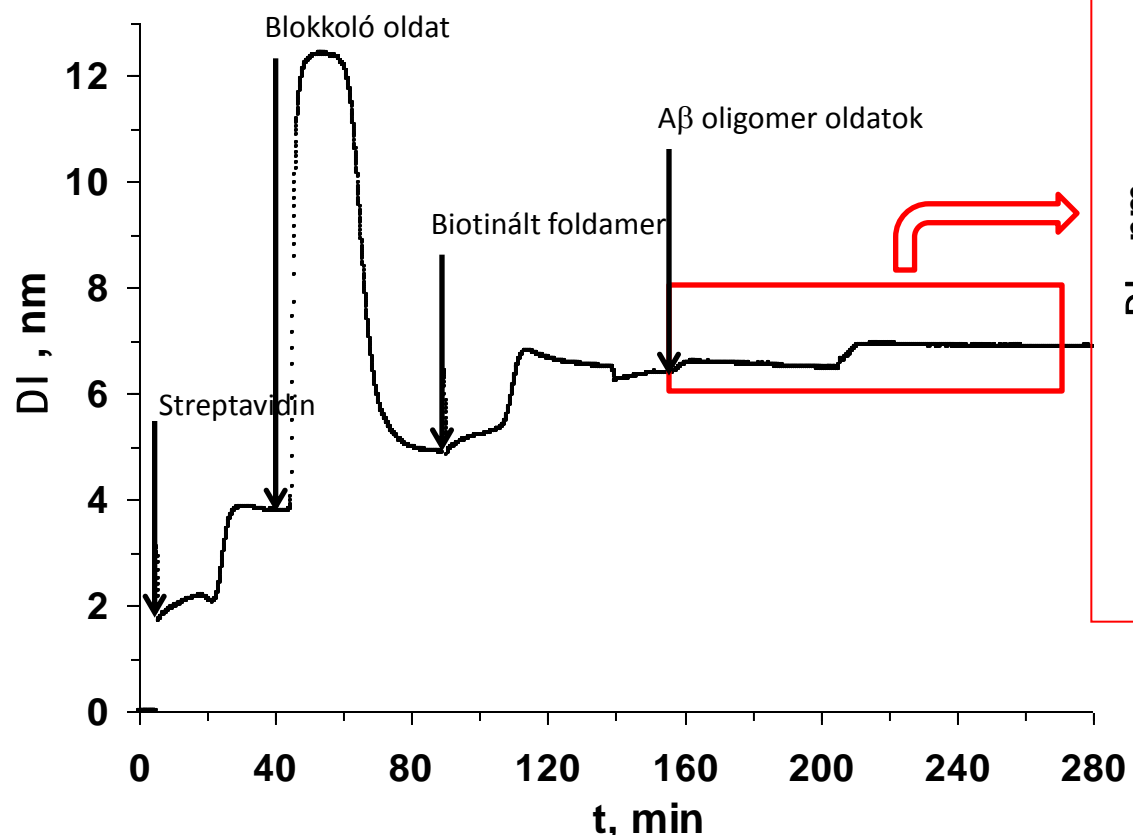
Fig. 11. Results of SPR measurements: in first step Au nanodispersion and after added AfB1 (in concentration range 0-32 ng/ml AfB1) in dilute acetonitrile solution.





Az animáció
kattintásra indul.



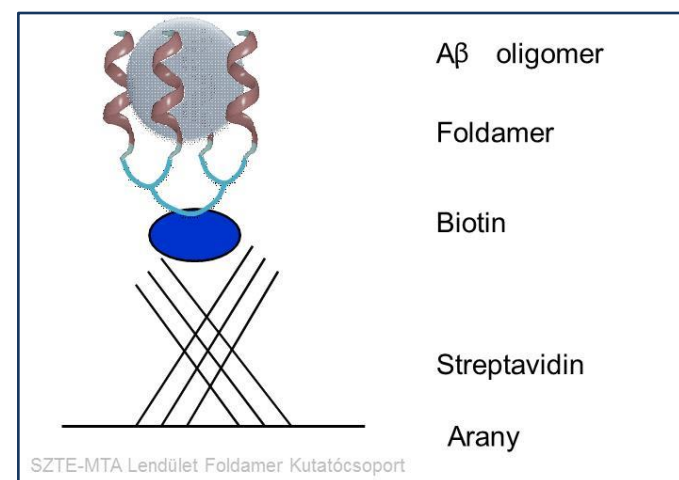


Közeg: PBS puffer oldat

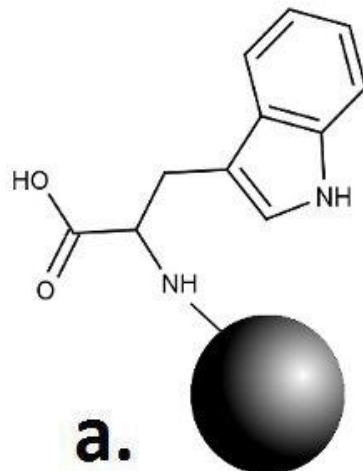
Áramlási sebesség: 20 μ L/perc

500 μ L folyadéktér fogatok kerültek beadagolásra

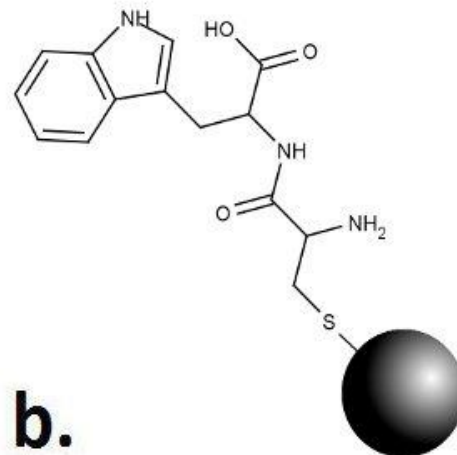
1. Lépés: Streptavidin 10 μ M
2. Lépés: BSA 1% oldata
3. Lépés: Biotinált foldamer 20 μ M oldata
4. Lépés: A β oligomer 100 nM
5. Lépés: A β oligomer 1 μ M



A plazmonikus csatolás lehetőségei

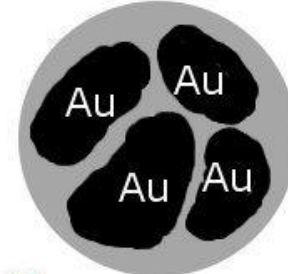


a.

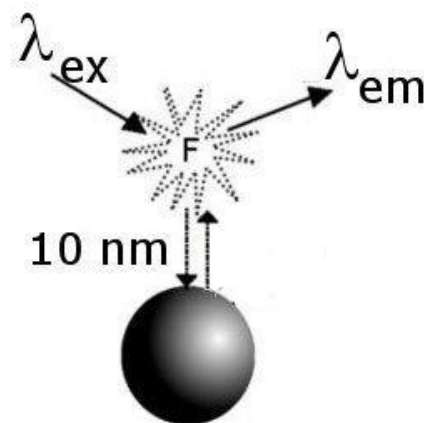


b.

Lysozyme



c.

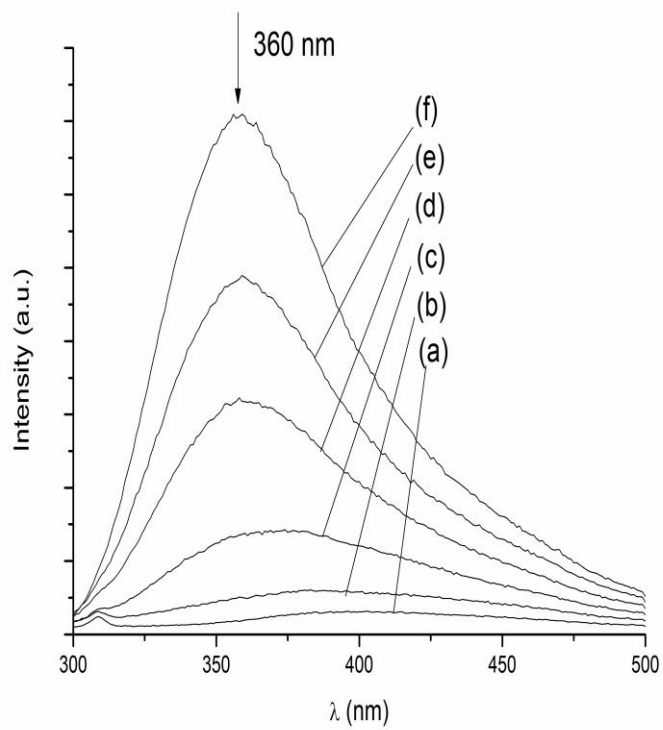


d.

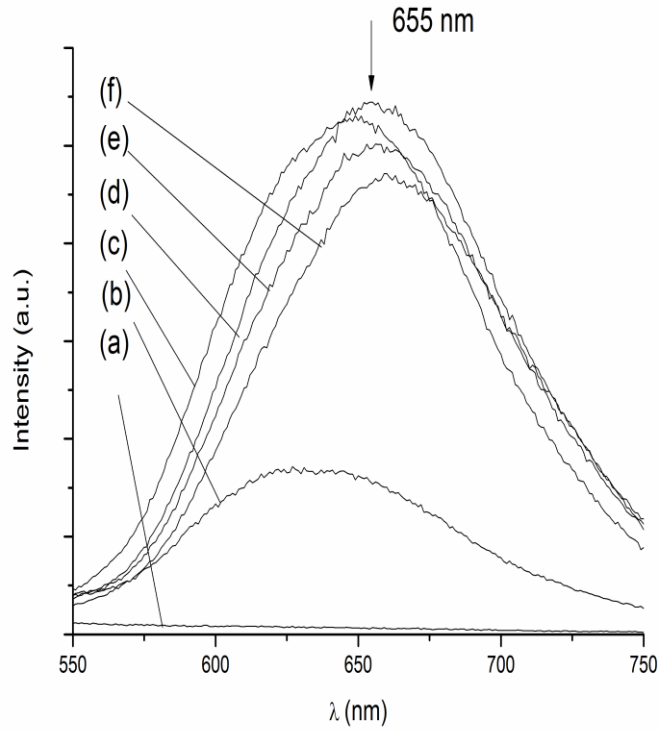
Schematic figures of the prepared AuNP samples (a) AuNP(Trp), (b) AuNP(CysTrp), (c) AuNP(Lys) and (d) the plasmonic coupling effect

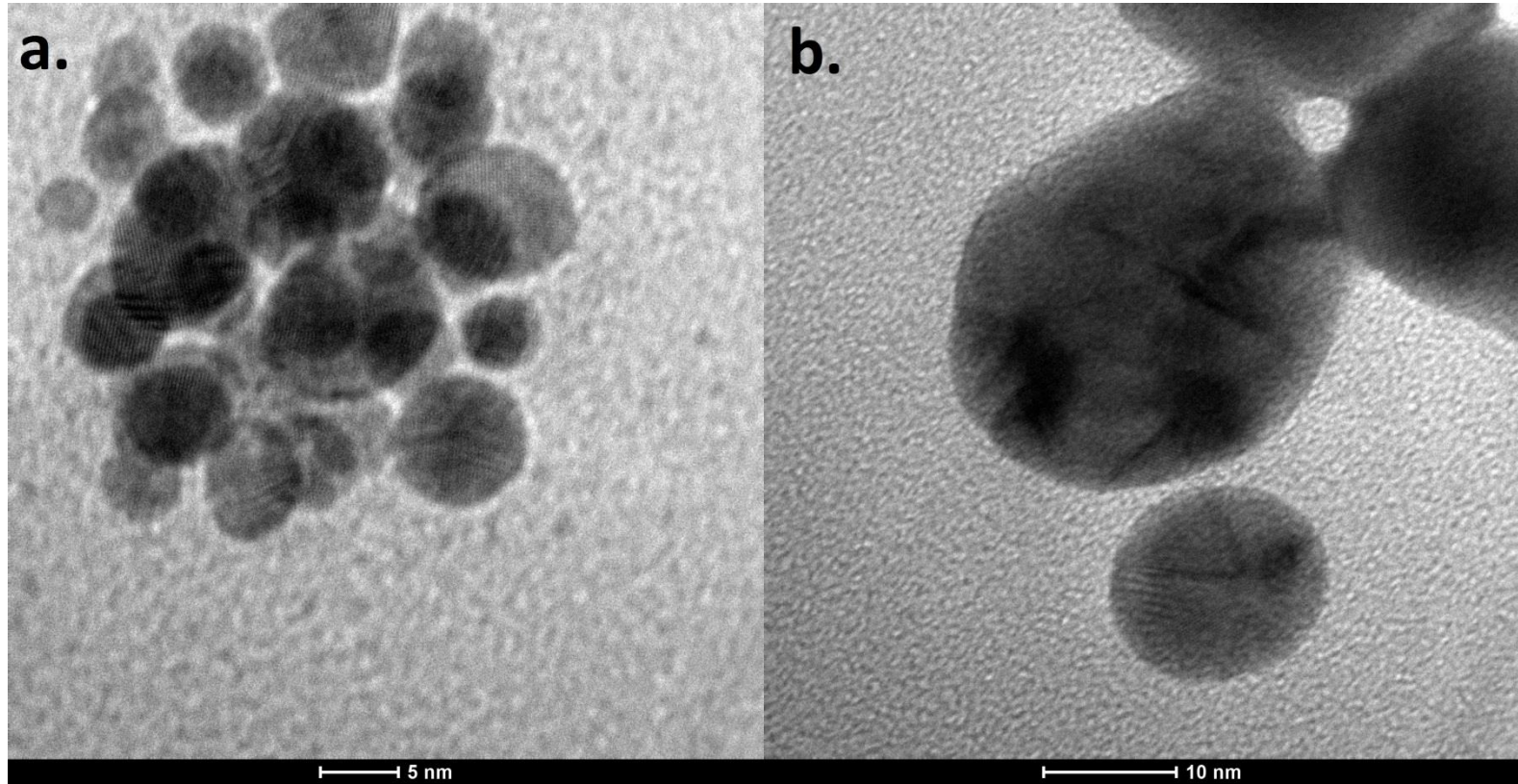
Fluoreszcencia spekrtumok Au-lizozim rendszereken

A.



B.

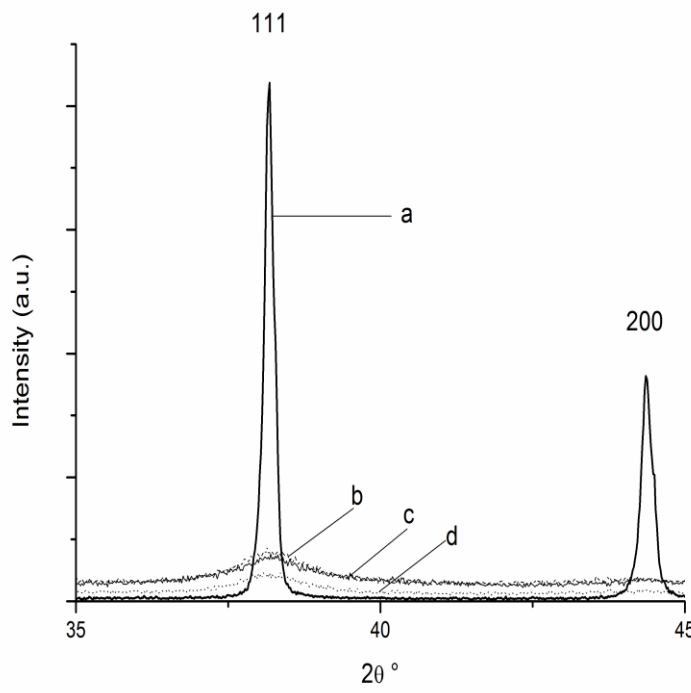




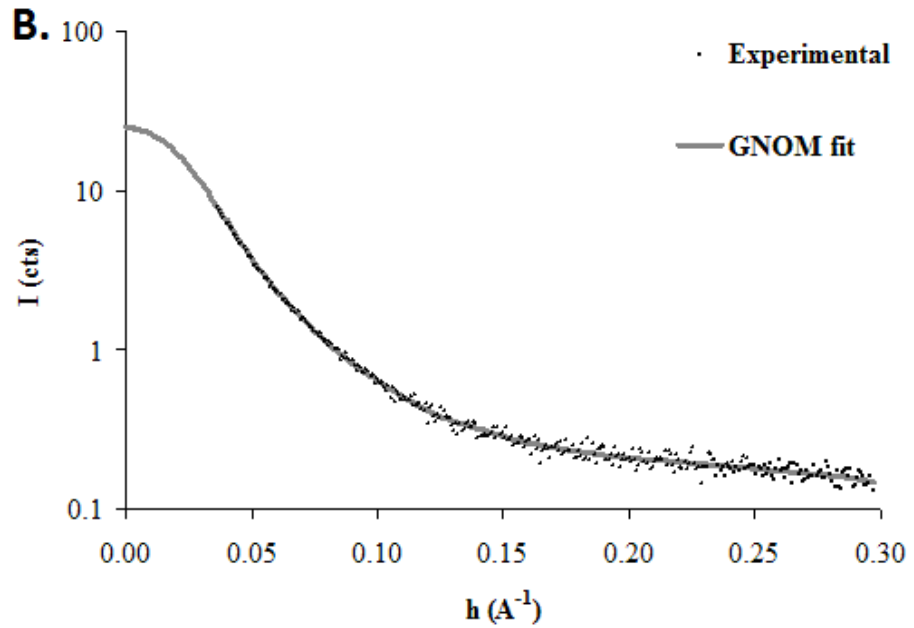
HRTEM images of the (a) AuNP(CysTrp) and (b) AuNP(Lys) samples
with the ratio of $m_{\text{Lys}}/m_{\text{Au}} = 5$

XRD mérések

A.

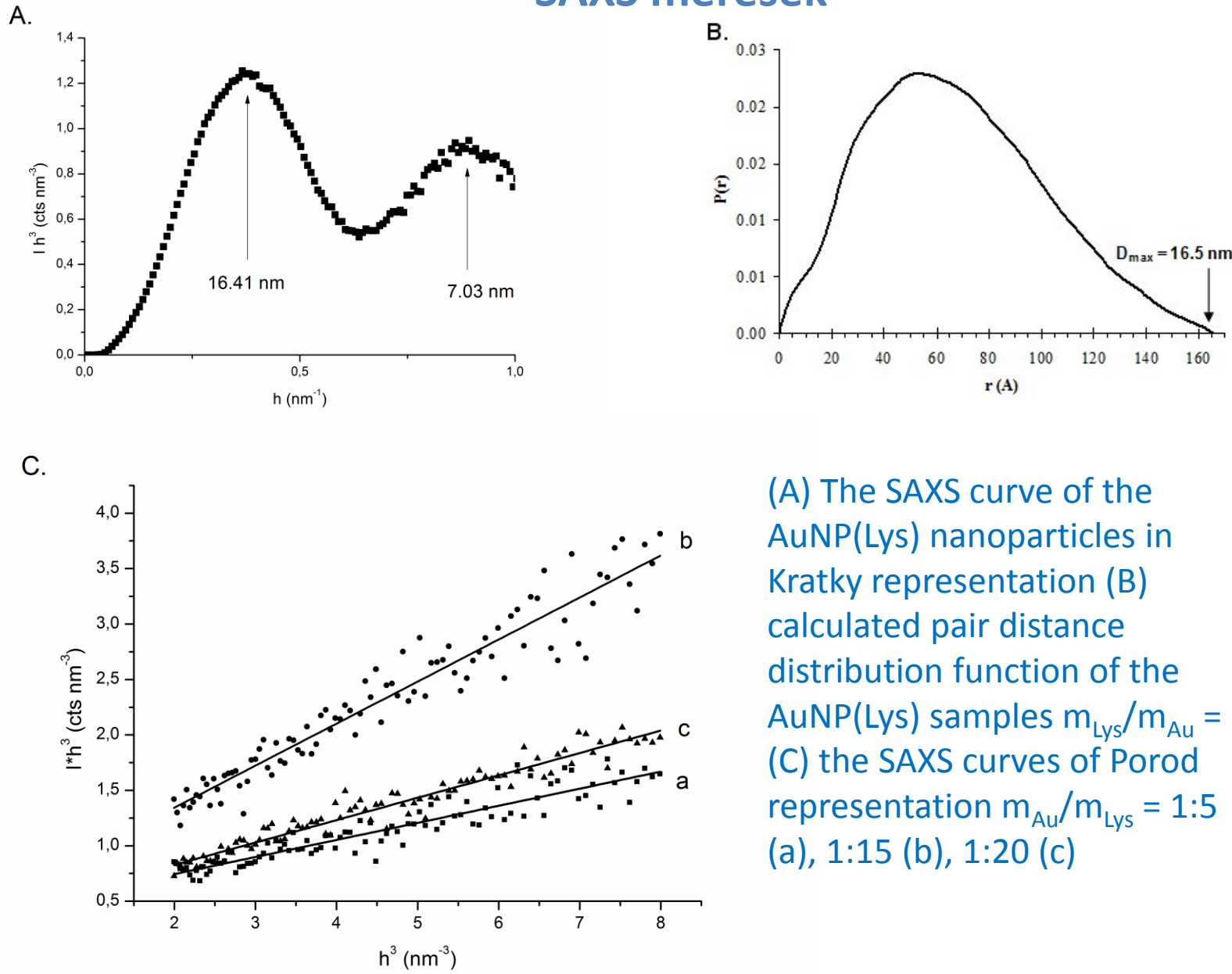


B.



(A) XRD pattern of (a) bulk gold, (b) AuNP(cit), (c) AuNP(Lys) and (d) AuNP(Cys) samples (B) The SAXS curve of (a) AuNP(Lys) sample ($c_{\text{Lys}}=1$ mg/ml) and the calculated SAXS curve (GNOM fit)

SAXS mérések

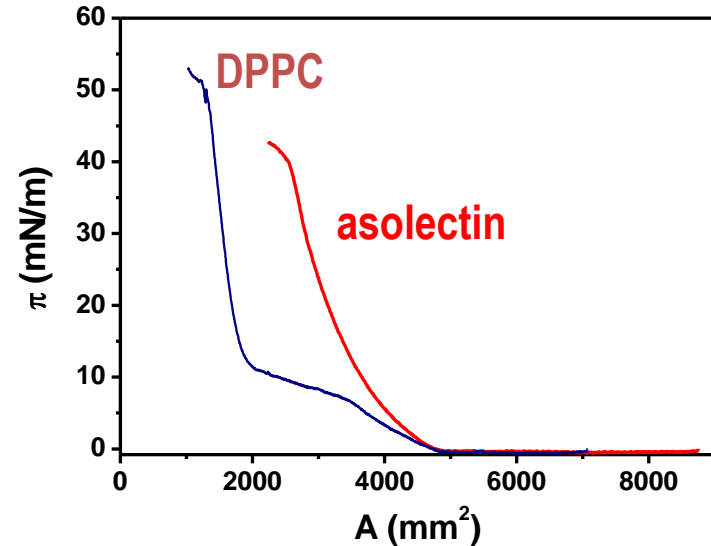
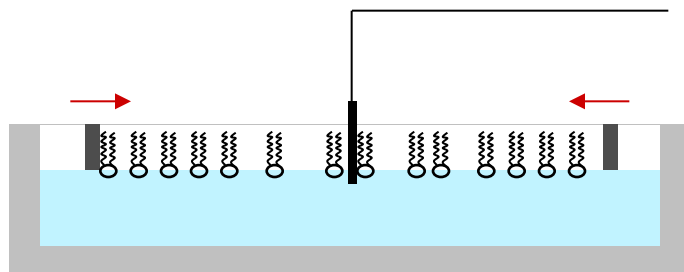


(A) The SAXS curve of the AuNP(Lys) nanoparticles in Kratky representation (B) calculated pair distance distribution function of the AuNP(Lys) samples $m_{\text{Lys}}/m_{\text{Au}} = 5$ (C) the SAXS curves of Porod representation $m_{\text{Au}}/m_{\text{Lys}} = 1:5$ (a), 1:15 (b), 1:20 (c)

Langmuir monoréteg vizsgálatok



Kibron MicroTroughS



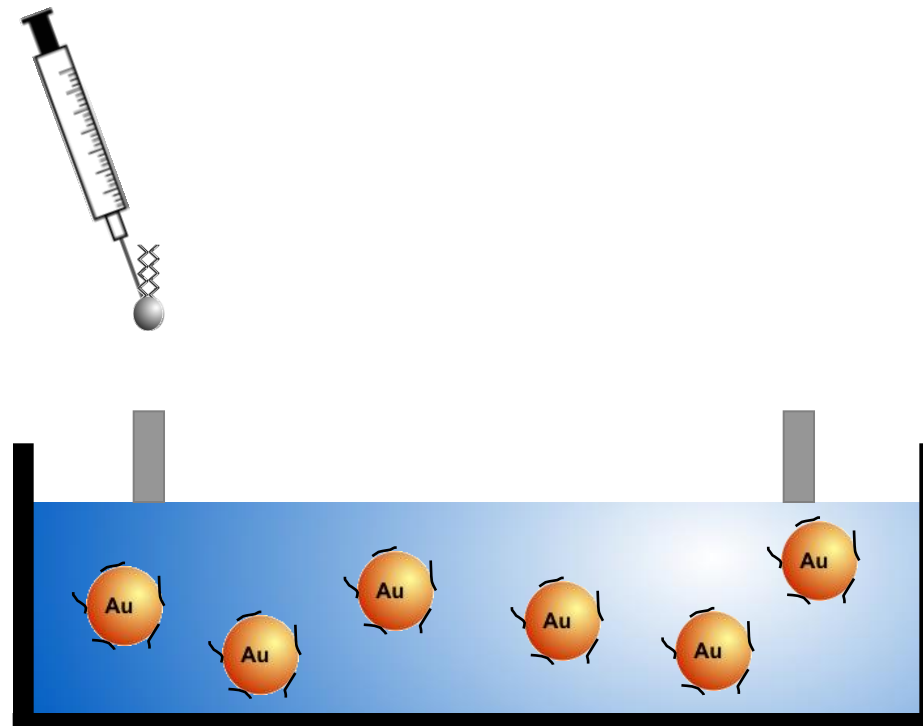
Surface pressure – area isotherms of the model membrane materials:
DPPC and asolectin

DPPC: dipalmytoyl-phosphatidylcholine
pure phospholipid

asolectin: mixture of phospholipids and fatty acids

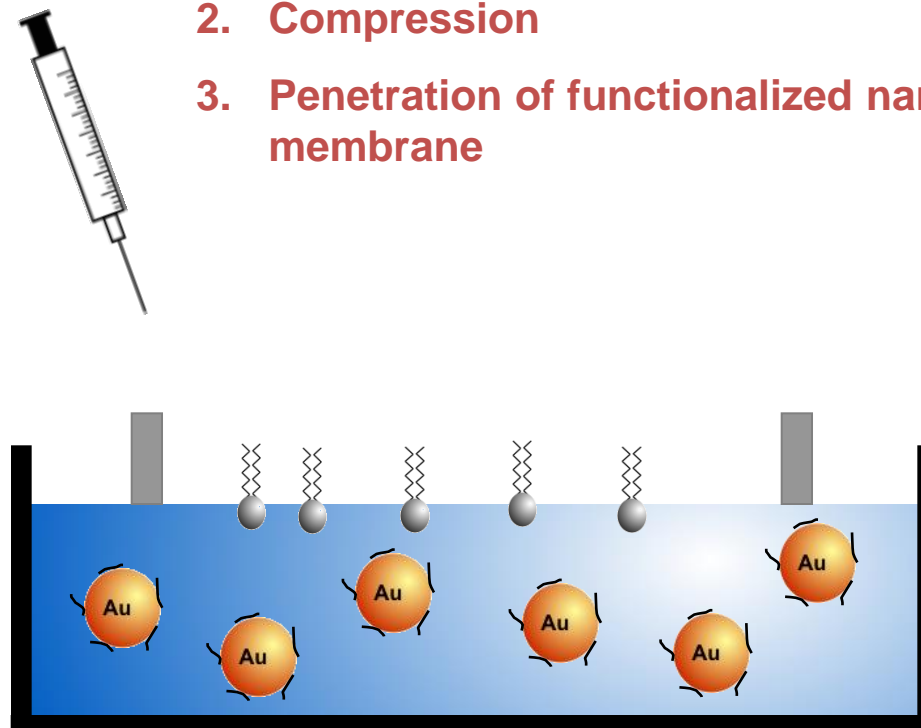
Au nanorészecskék beépülése a lipid membránba

1. Preparation of phospholipid monolayer at liquid/air interface



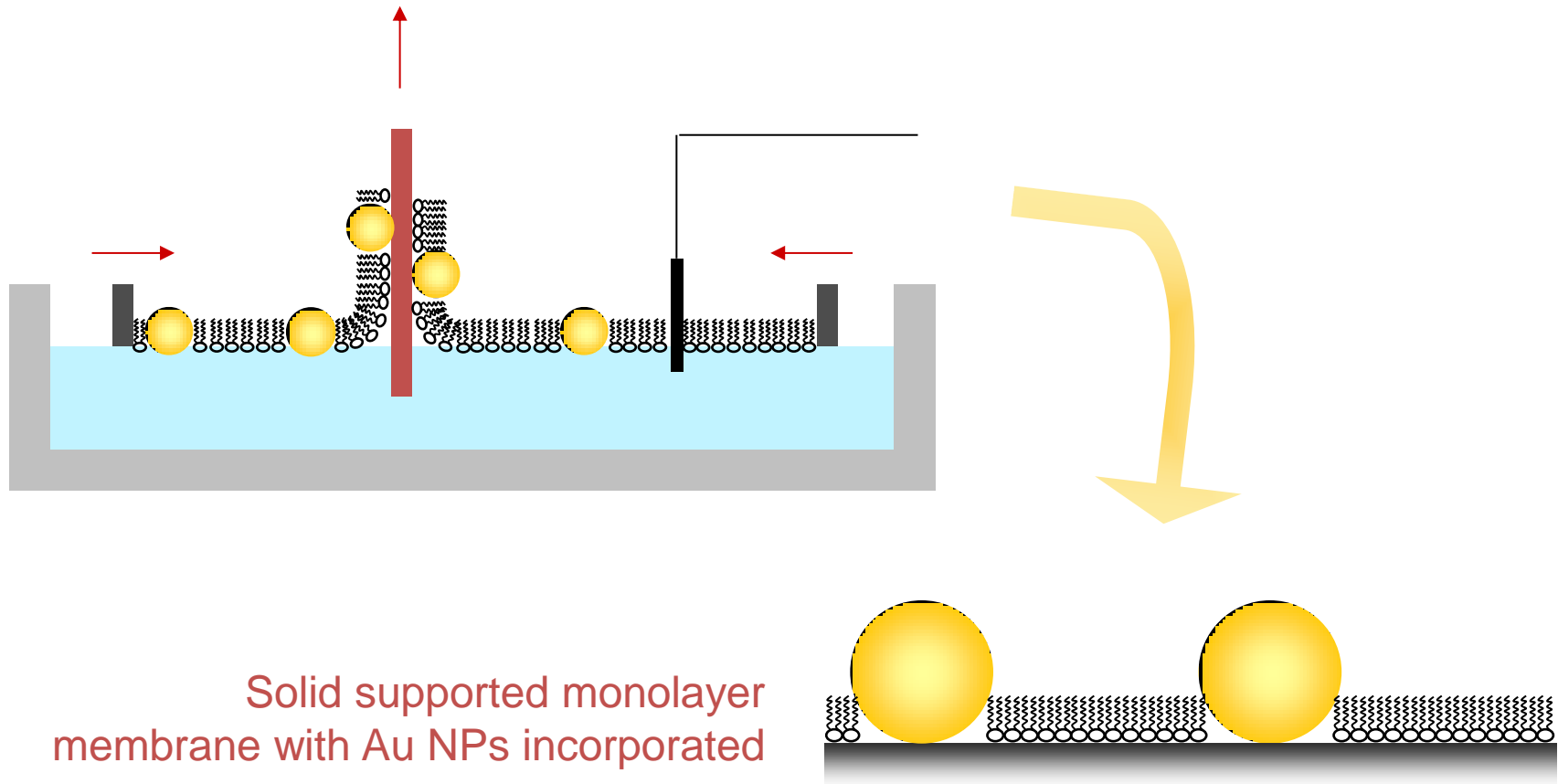
Schematic representation of the nanoparticles penetration into lipid membrane

1. Preparation of phospholipid monolayer at liquid/air interface
2. Compression
3. Penetration of functionalized nanoparticles into membrane

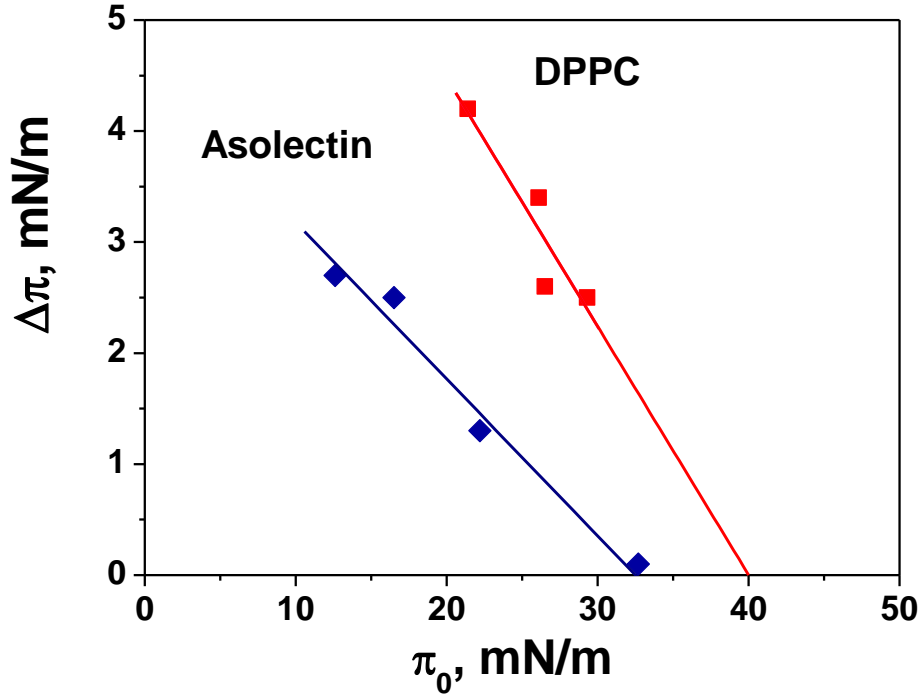
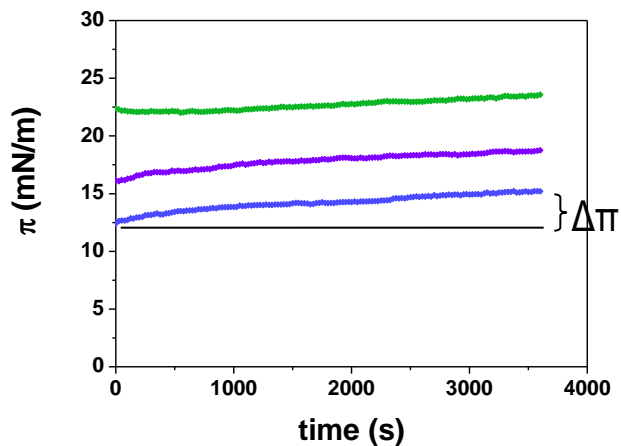
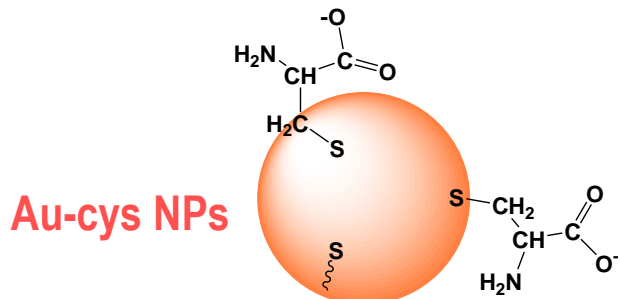


A monomolekulás réteg átvitele szilárd felületre

Langmuir-Blodgett method

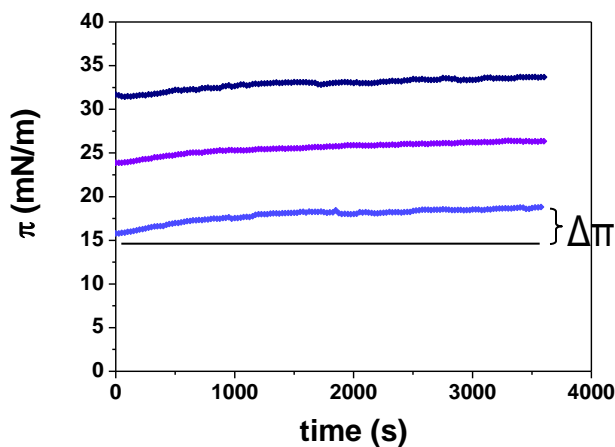
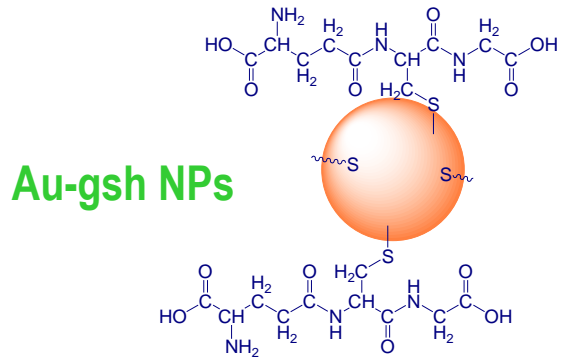


Au- cisztein beépülése monoréteges membránba

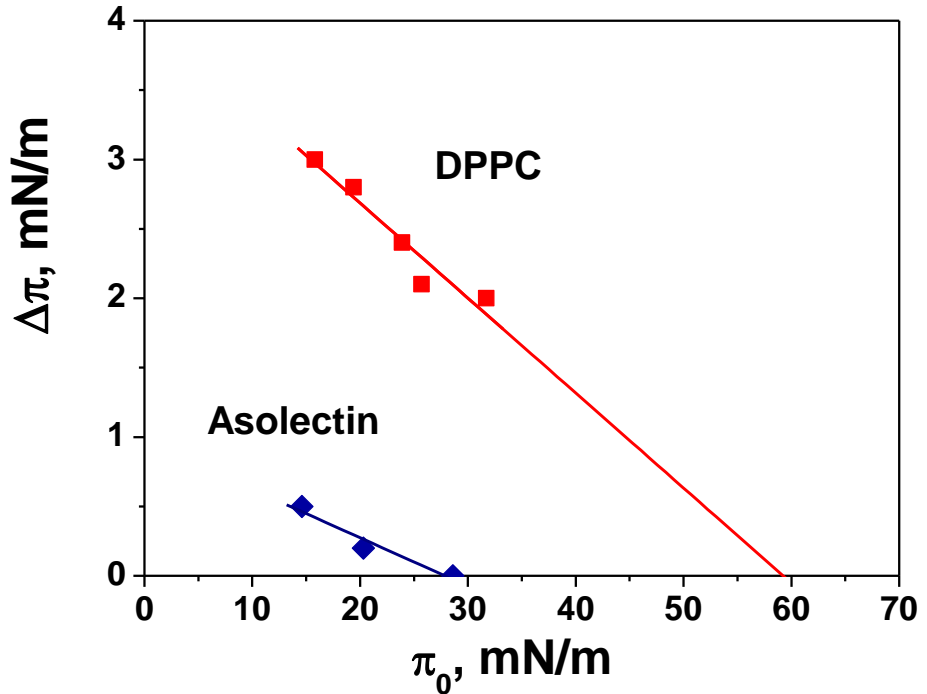


Surface pressure increase ($\Delta\pi$) as a function of the initial surface pressure (π_0) due to the nanoparticle incorporation

Au - glutation beépülése a monoréteges membránba



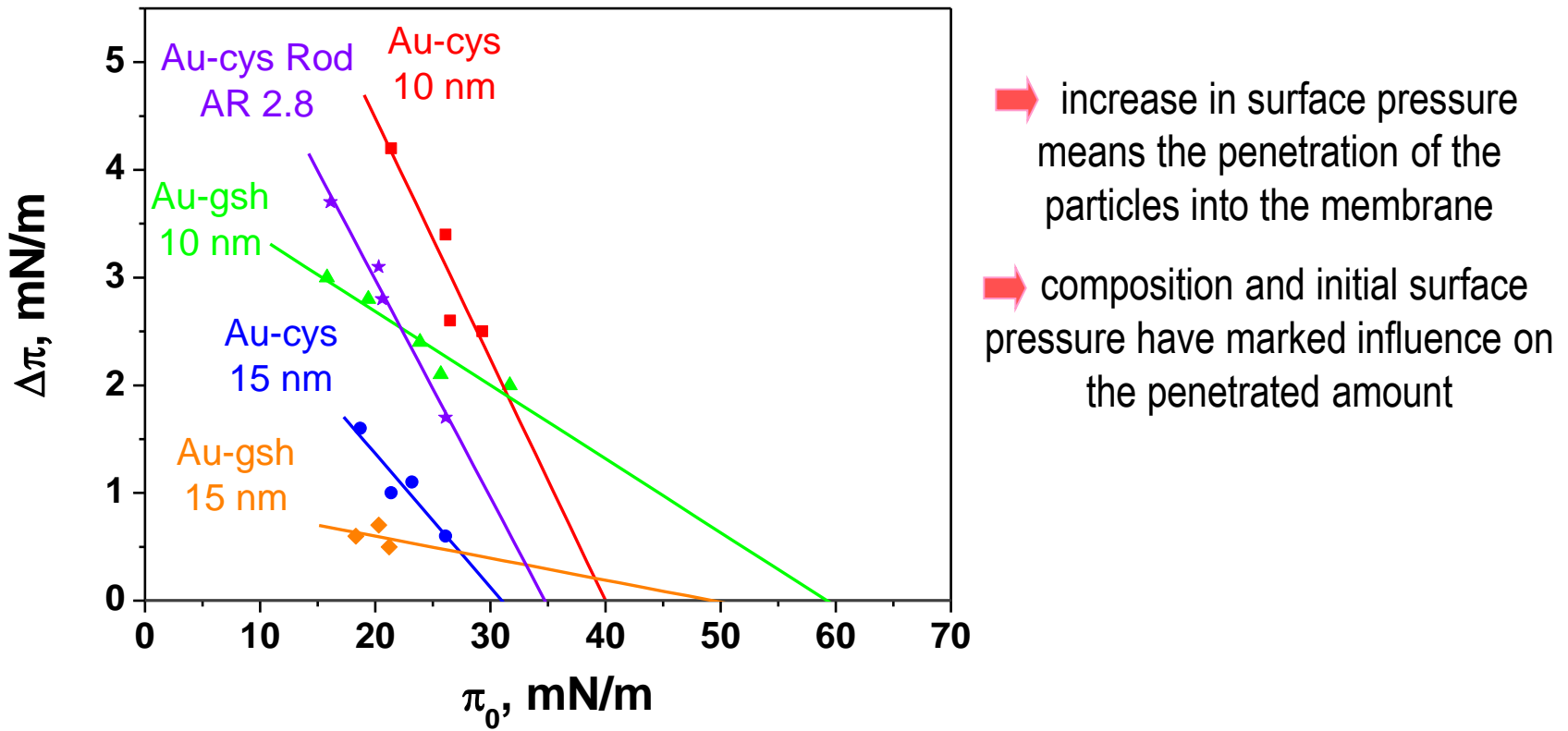
Change in the surface pressure of the monolayer during the incorporation



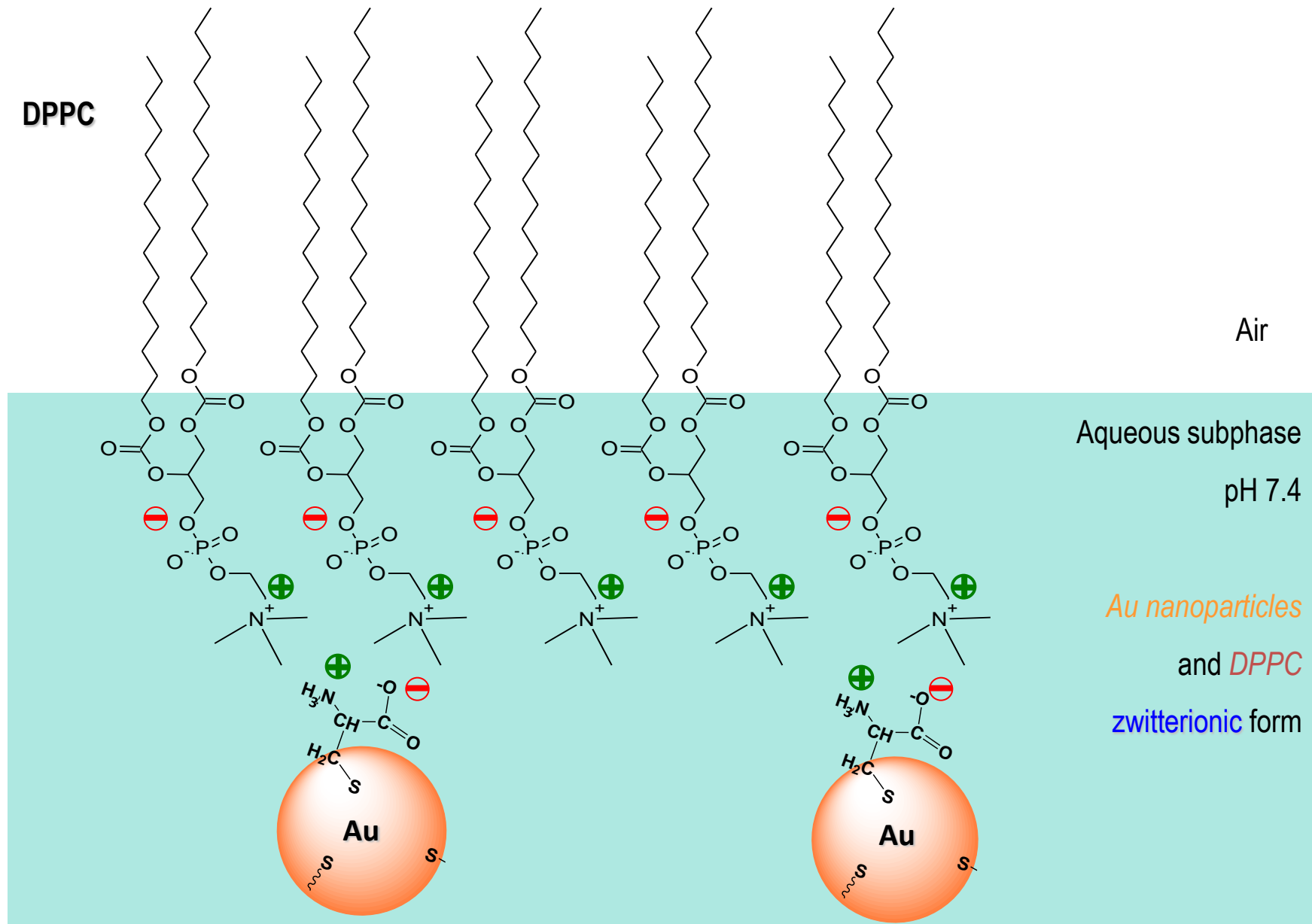
Surface pressure increase ($\Delta\pi$) as a function of the initial surface pressure (π_0) due to the nanoparticle incorporation

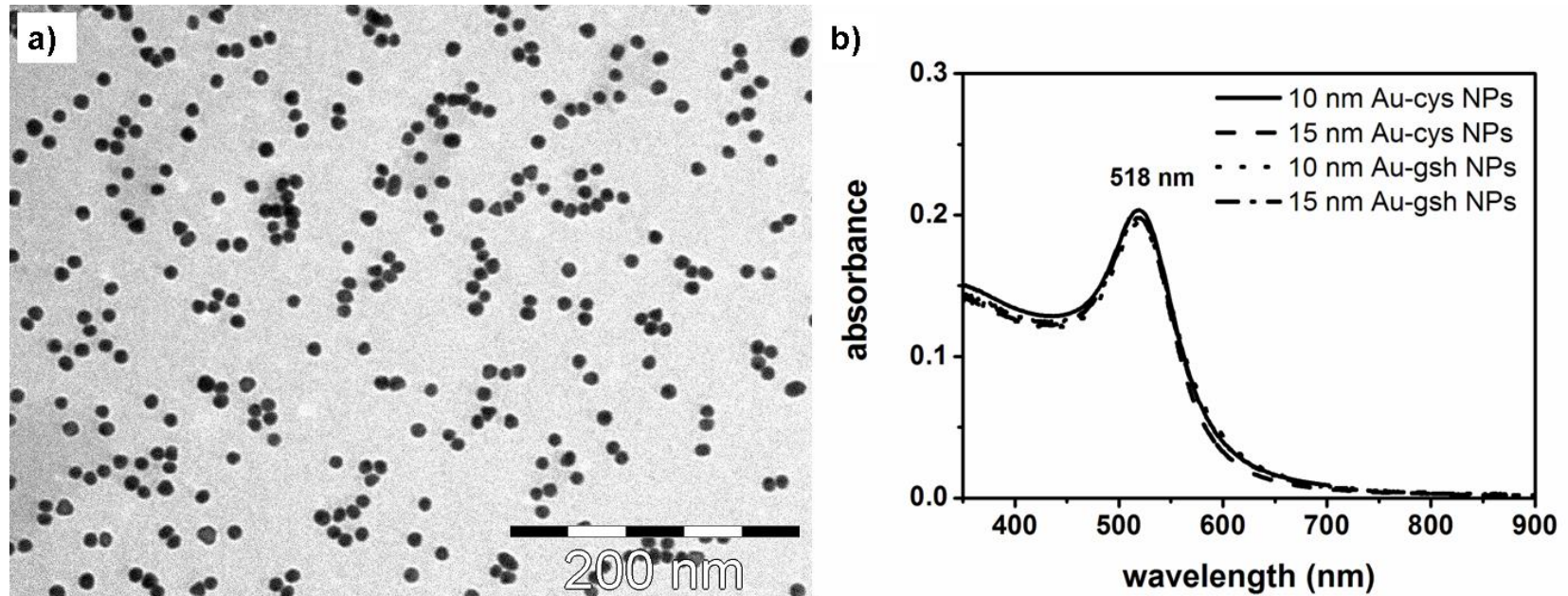
Biofunkcionalizált Au NR beépülése a DPPC membránba

Penetration of the biofunctionalized Au NPs into the different model membranes at different compactnesses (eg. initial surface pressures)

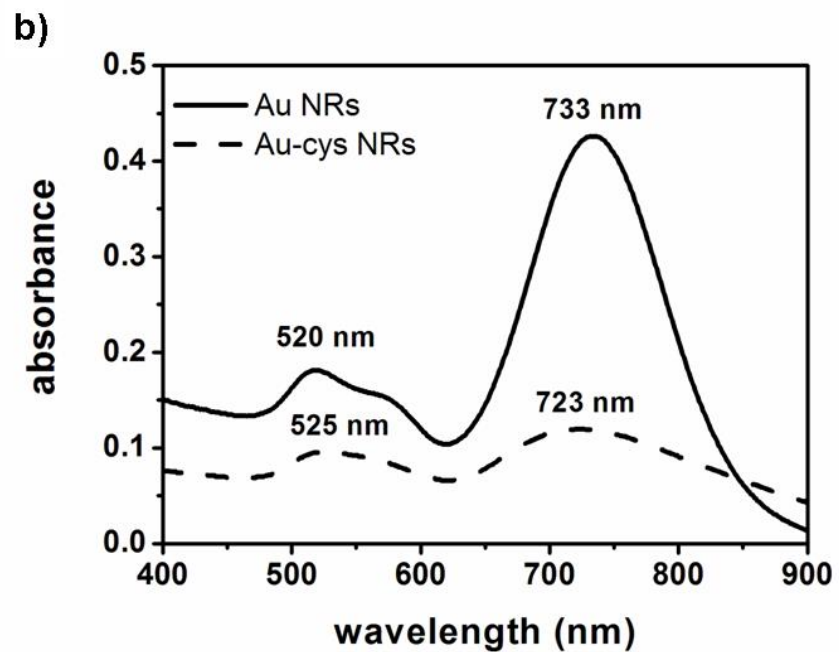
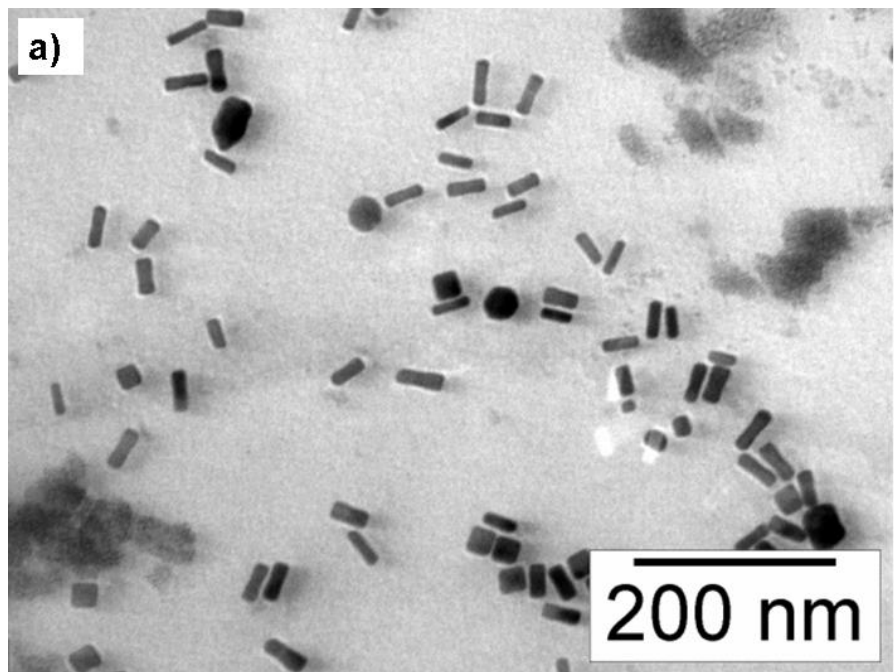


Biofunkcionalizált Au NR és a phospholipid monoréteg

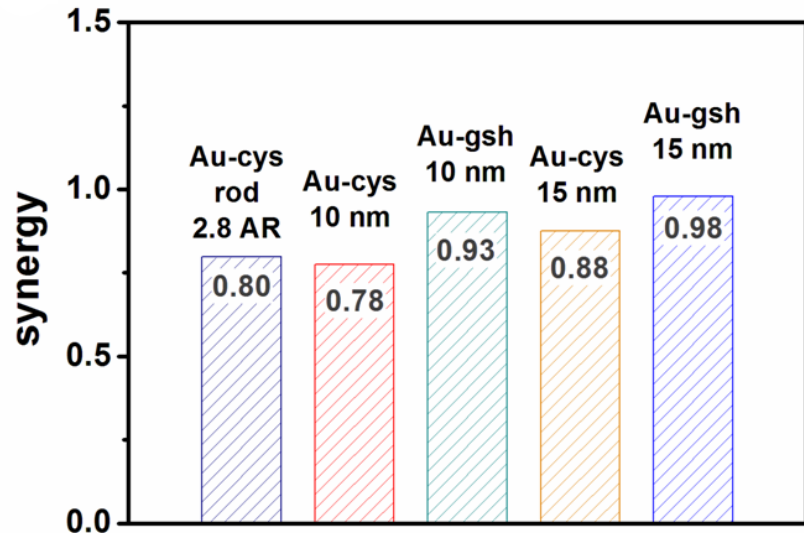
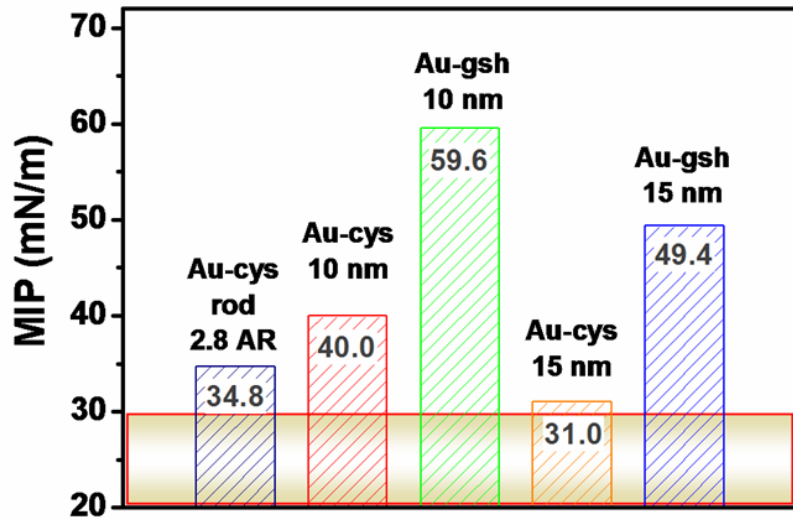




TEM image of the 10 nm spherical Au NPs and UV-Vis absorbance spectra of different sized, bioconjugated Au NPs.



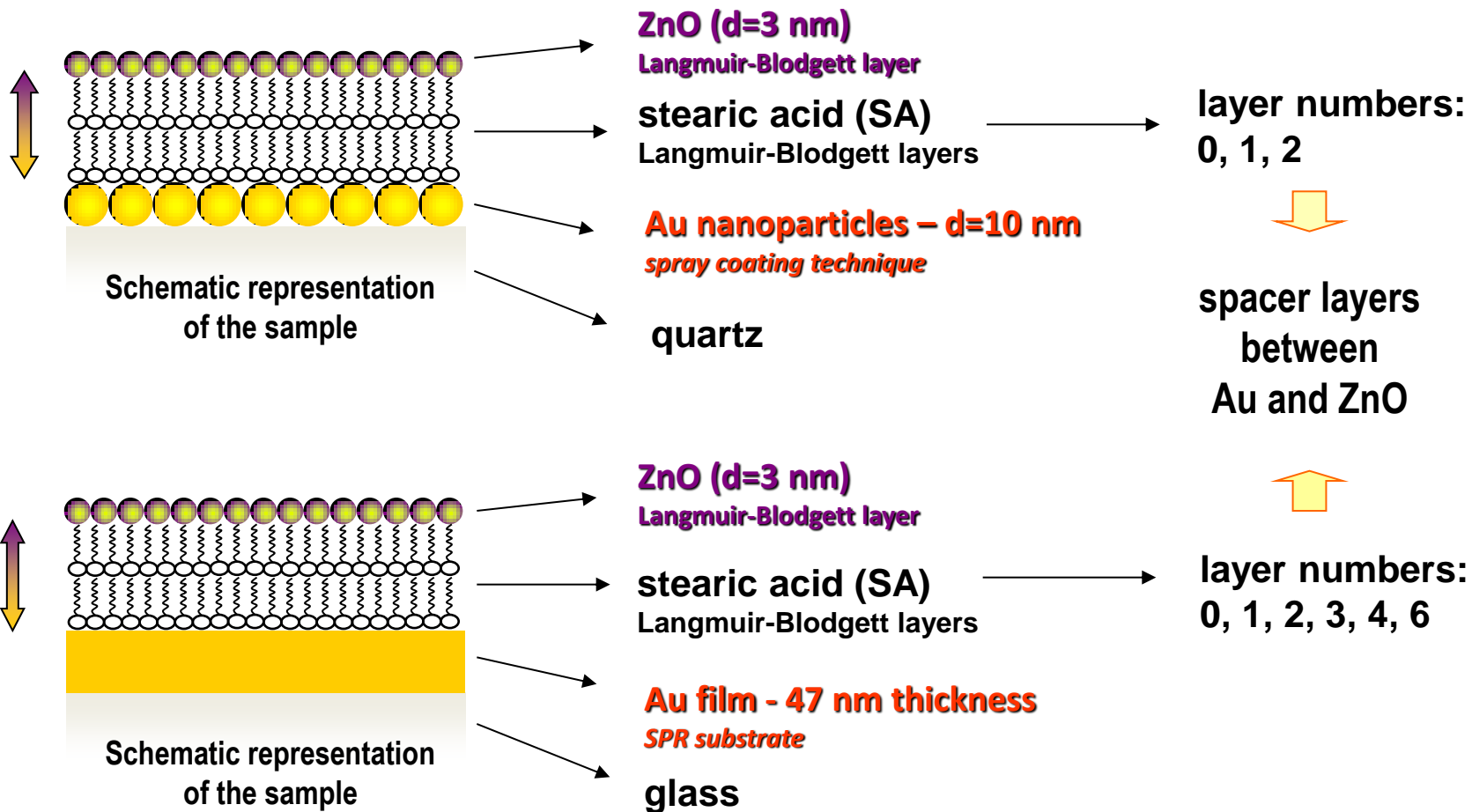
TEM image of the Au nanorods, UV-Vis absorbance spectra of the aqueous dispersions of the Au NRs.



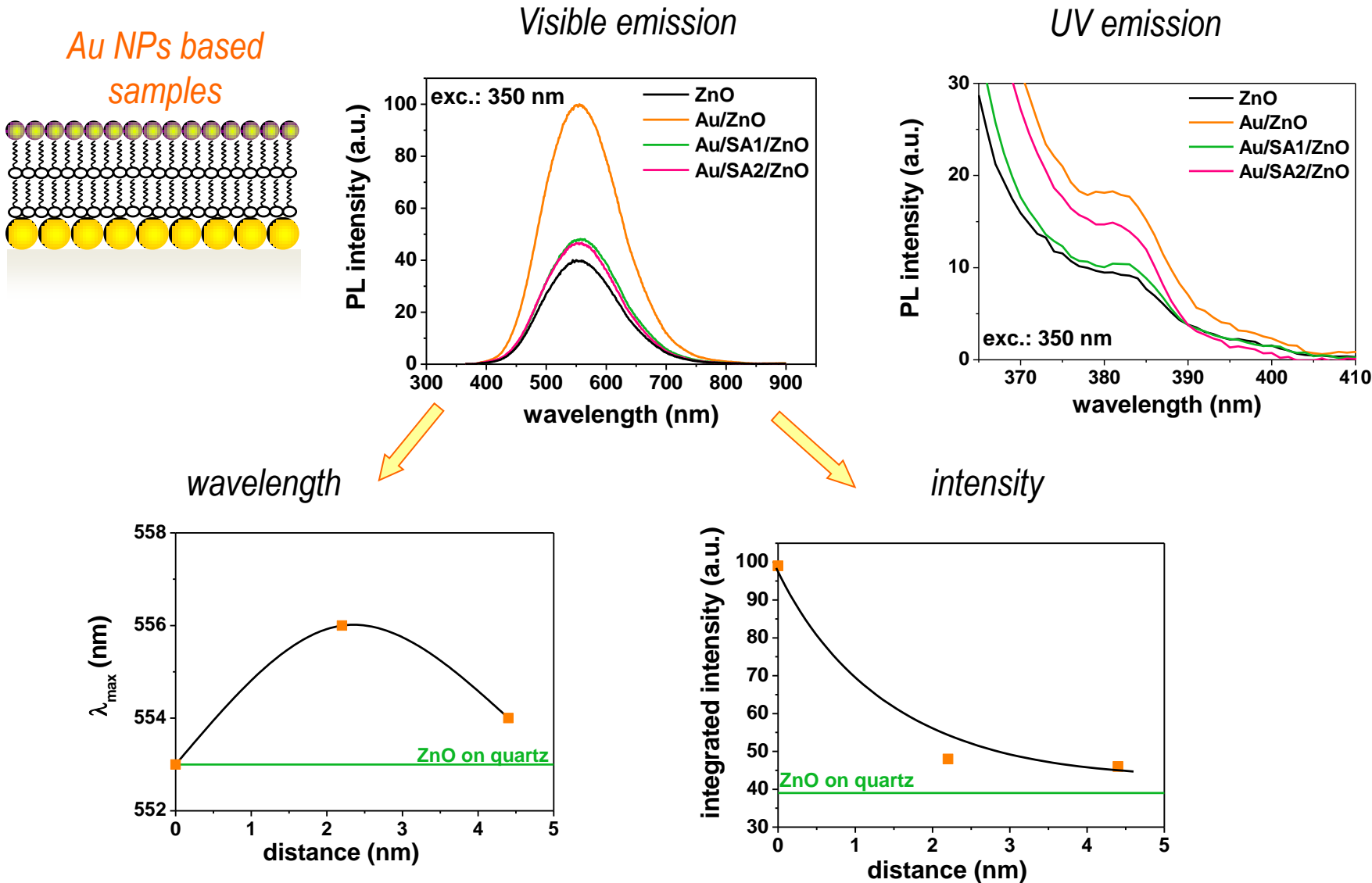
Maximum insertion pressure (MIP) and synergy values obtained for the different sized, shaped, surface functionalized nanoparticles with DPPC membrane.

ZnO-Au plazmonikus csatolás

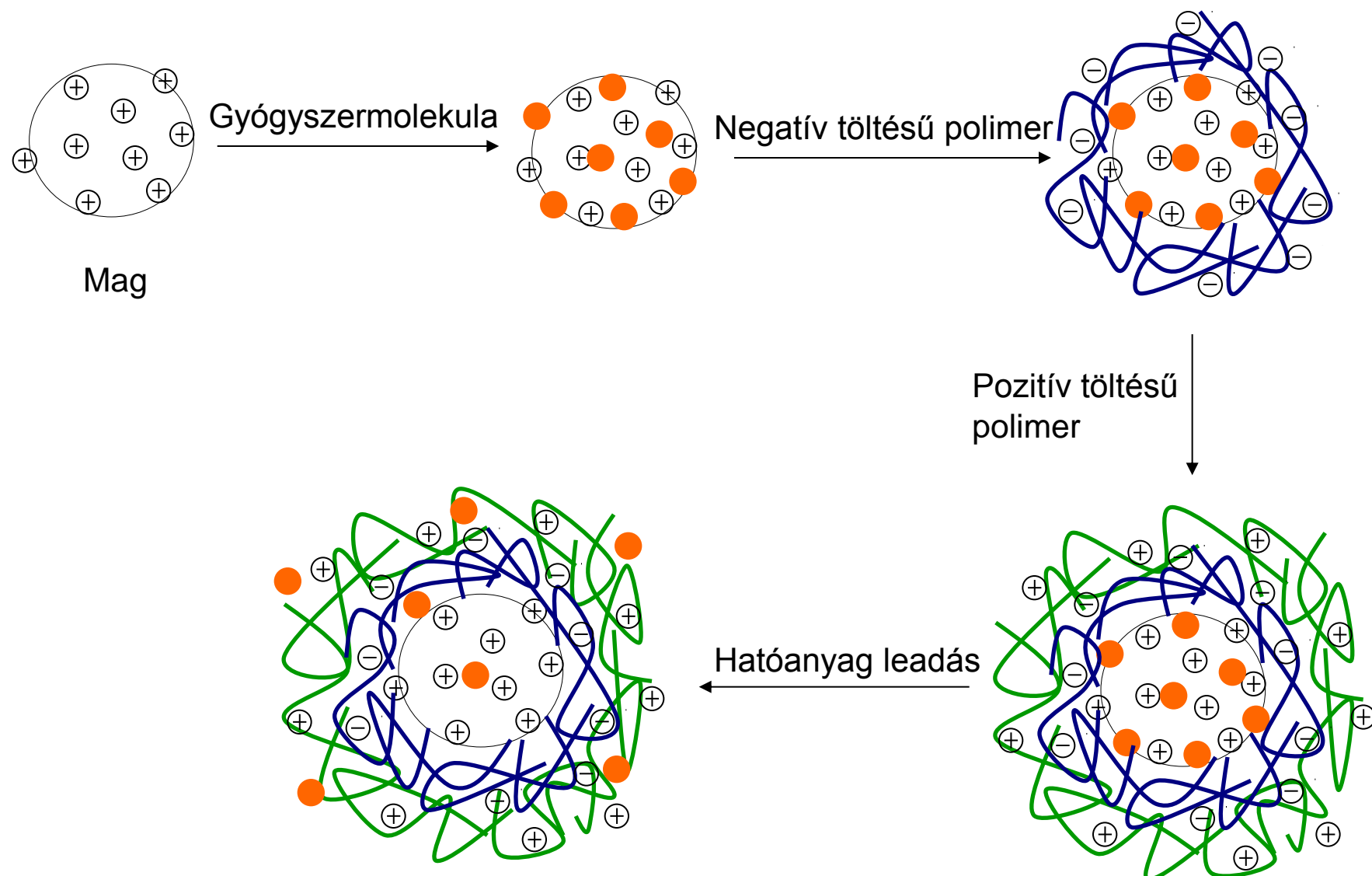
Au és ZnO nanohibrid filmek



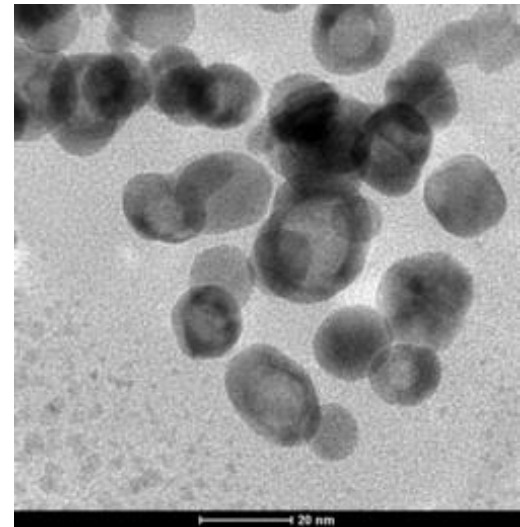
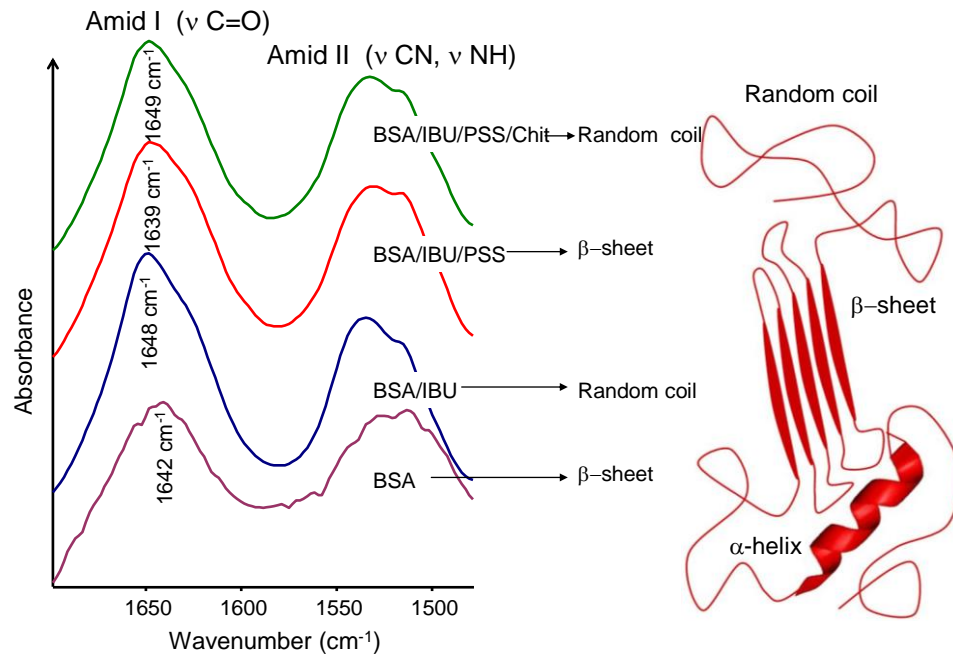
Au-ZnO nanoszerkezetek fotolumineszcenciája



Mag-héj kompozitok



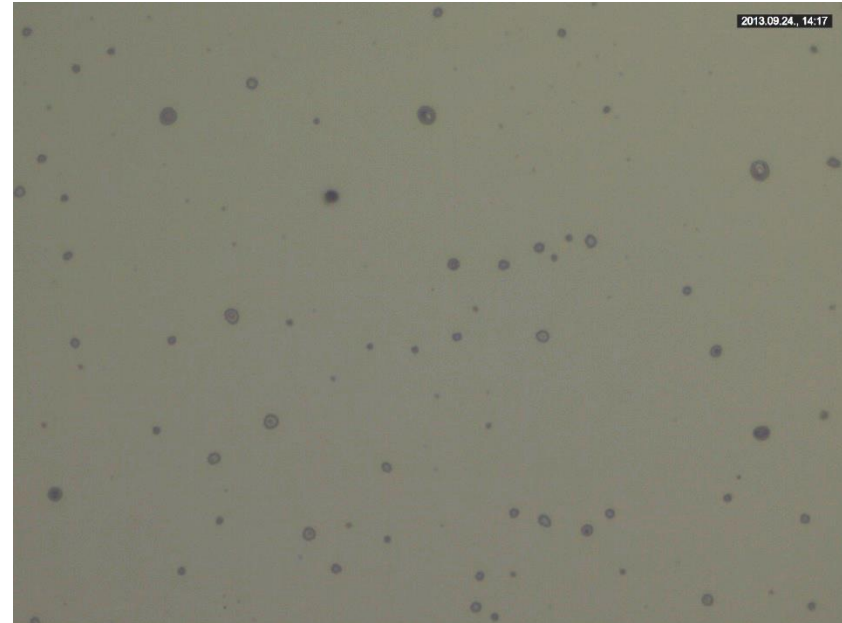
BSA maggal előállított mag-héj kompozitok



BSA/IBU/PSS/Chit TEM képe

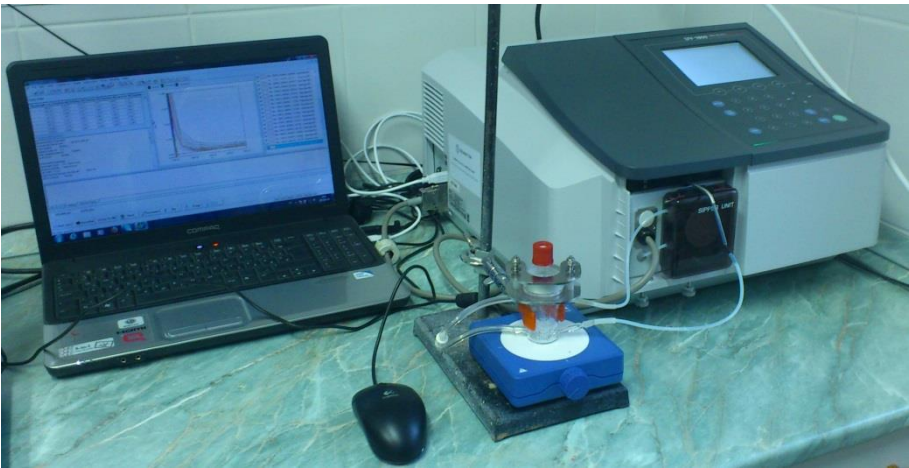
BSA, BSA/IBU, BSA/IBU/PSS valamint a BSA/IBU/PSS/Chit infravörös spektruma, valamint a másodlagos szerkezet változása az amid I sáv eltolódása alapján

BSA/IBU/PSS/Chit
fénymikroszkópos képe



2013.09.24., 14:17

Hatóanyag leadás vizsgálata



IBUPROFEN meghatározása:

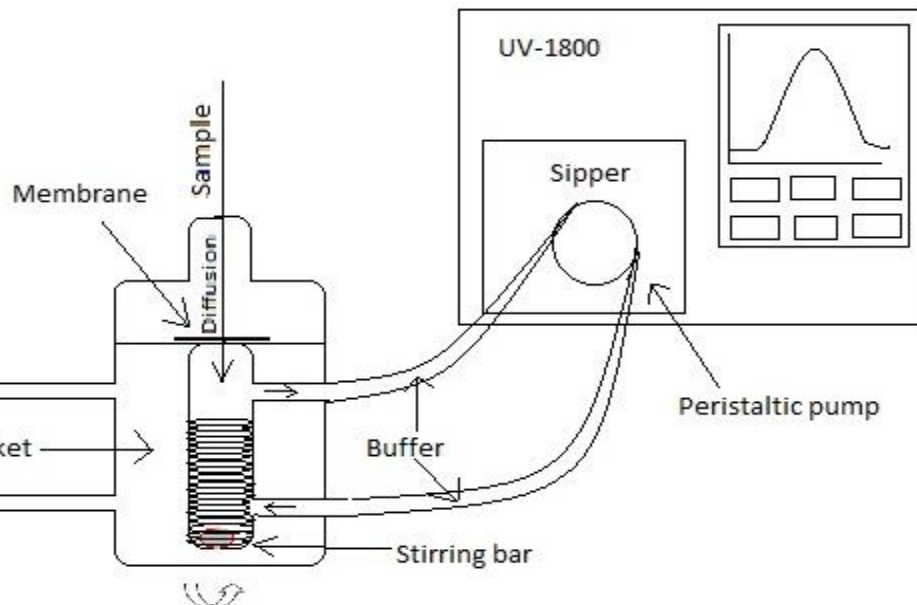
BSA mag jelenlétében: 264 nm, 272 nm

Szilika mag jelenlétében: 222 nm, 264 nm, 272 nm

Mérés:

Foszfát pufferben (PBS, pH=7,4)

HANSON cella-
vertikális diffúzió cella



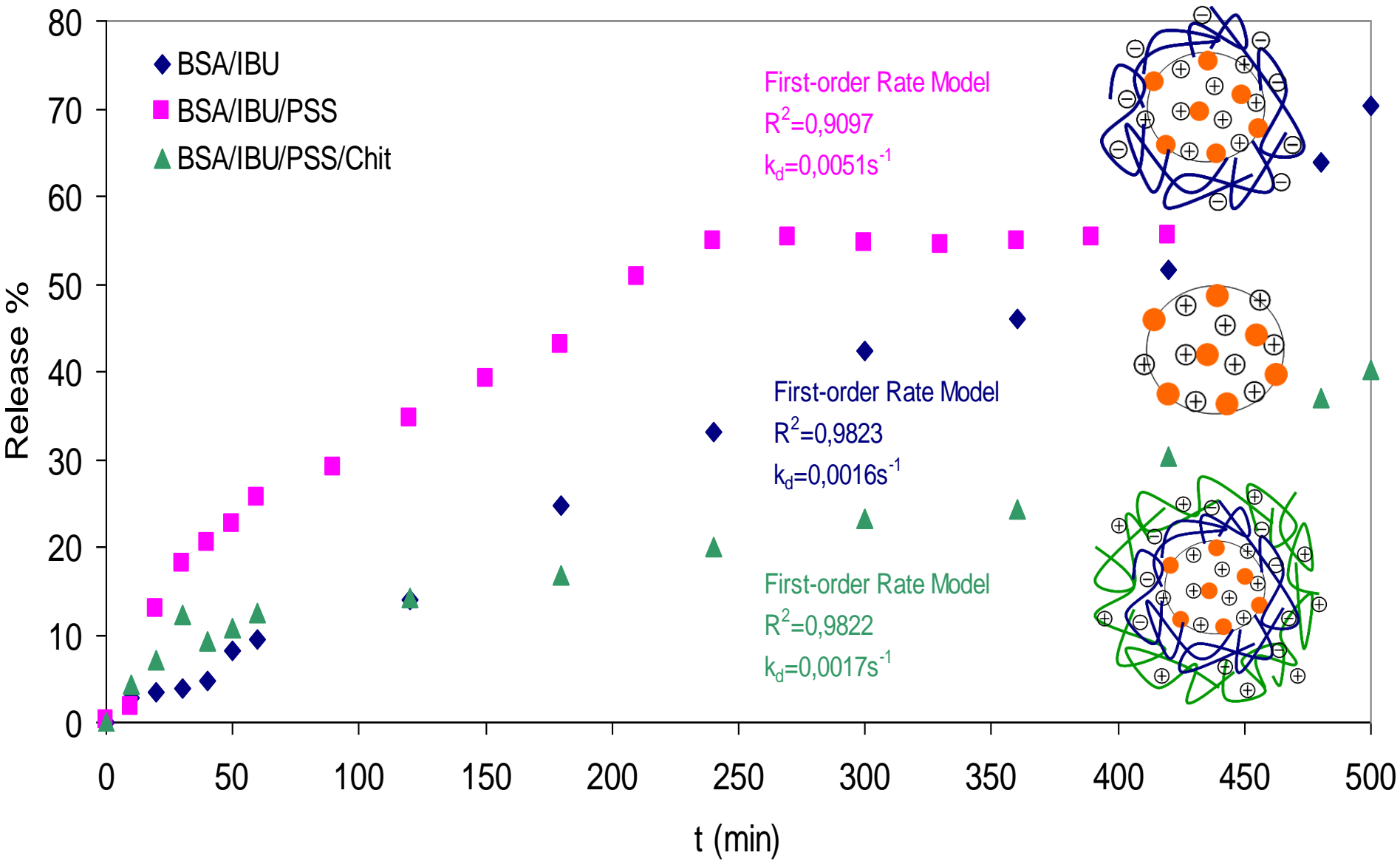
Két kamrából áll: donor and receiving (fogadó) chambers

Membrán :Dialysis tubing cellulose membrane

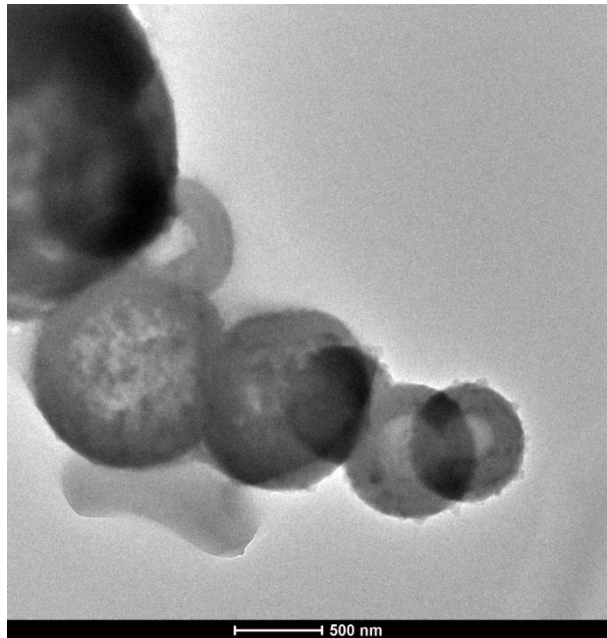
Cella térfogata: 4ml, de a pontos térfogatot meg kell határozni

Keverés sebességet állandó értéken kell tartani a mérés során.

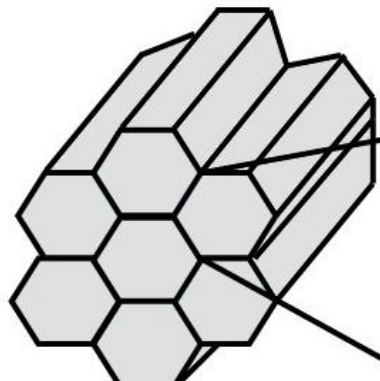
Elsőrendű Sebességi Modell a kioldódás mechanizmusára



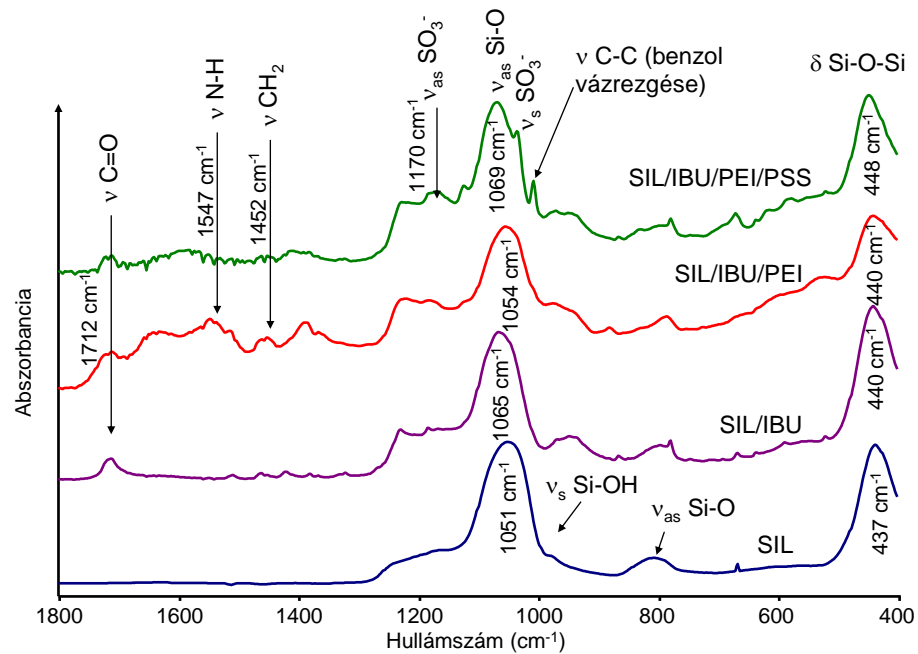
Mezoporusos szilika maggal előállított mag-héj kompozitok



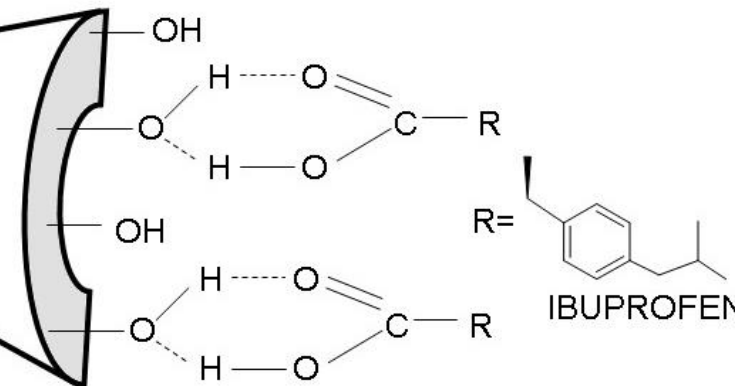
SIL/IBU/PEI TEM képe



Mesoporous silica

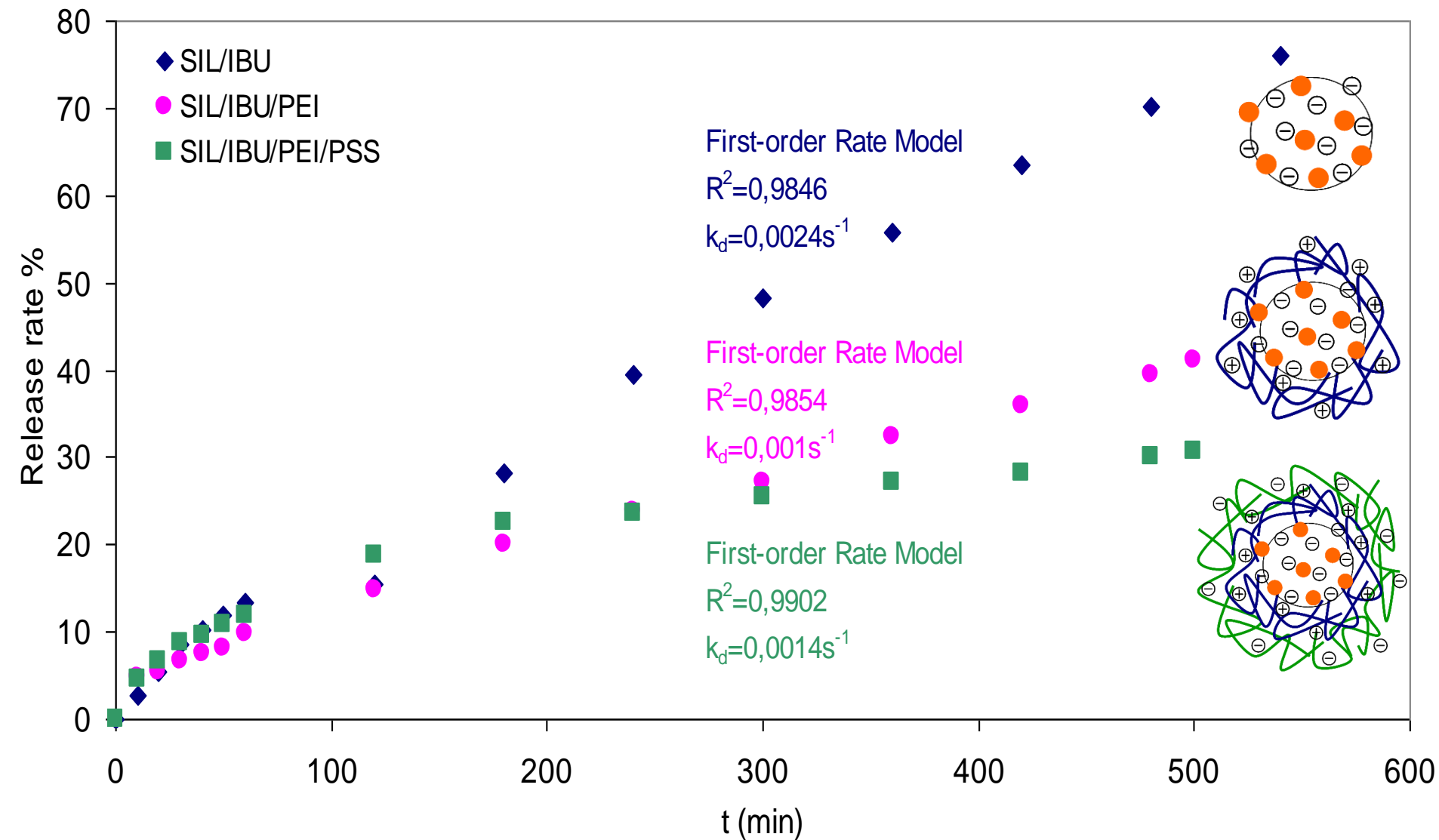


A szilika, valamint a mag-héj kompozitok infravörös spektruma



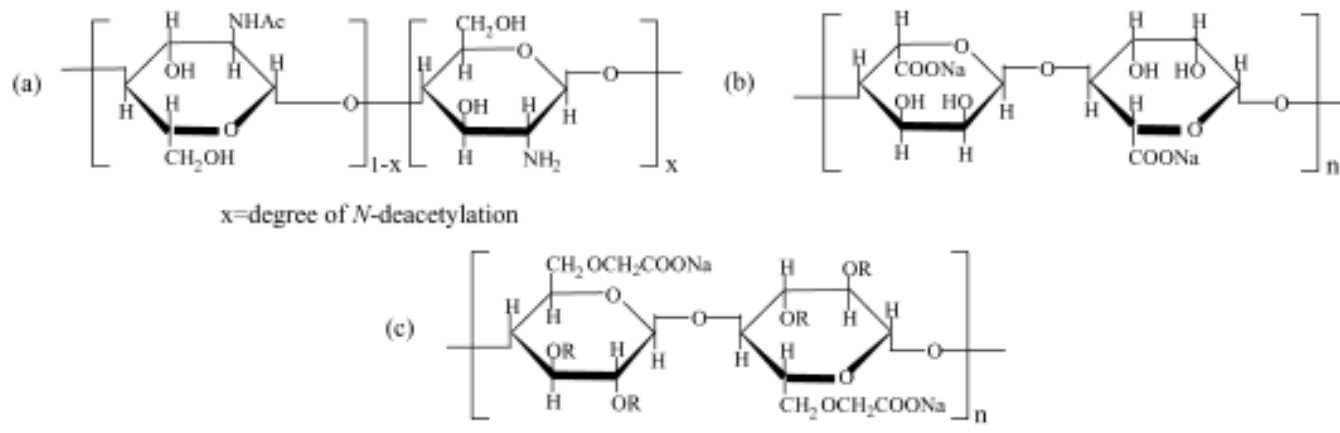
A szilanol csoportok, valamint az ibuprofen karboxil csoportjai közt létrejött H-kötések a szilika pórusaiban

Elsőrendű Sebességi Modell a kioldódás mechanizmusára



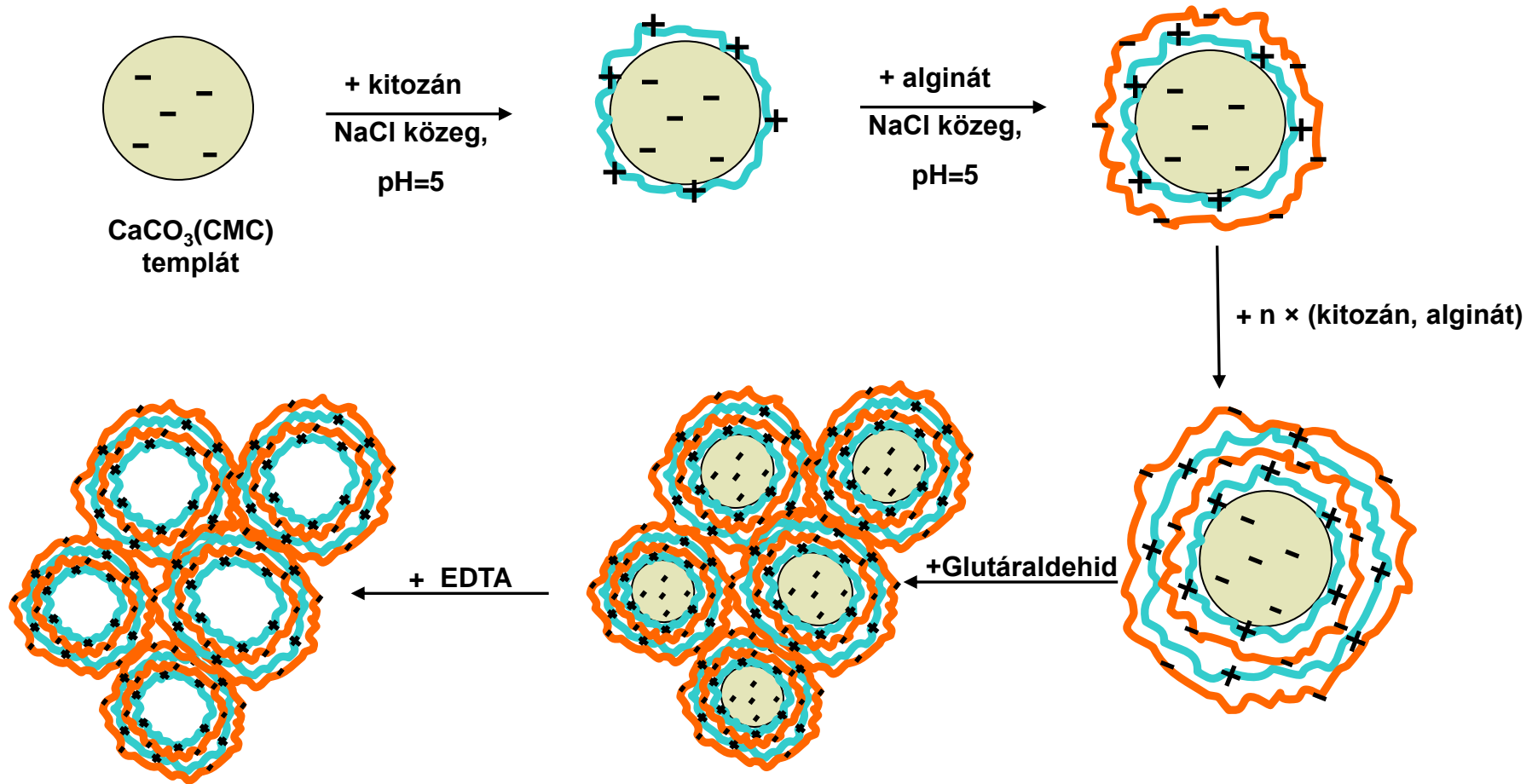
„Hollow spheres” előállítása biokompatibilis poliszacharidokból

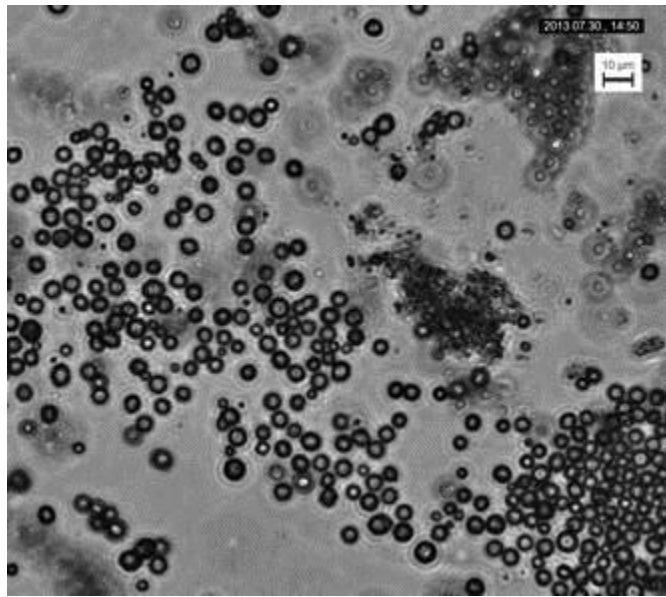
- **kitozán, alginát** - biokompatibilis, biodegradábilis,
 - alkalmazhatóságát széleskörűen vizsgálják hatóanyagok és vakcinák szállítására nyálkahártyán keresztül
- **CaCO₃** -nem toxikus,
 - mérete és morfológiája szabályozható,
 - könnyen eltávolítható,
- **CMC** -összekapcsolódik a Ca⁺ ionokkal, ezáltal szabályozza a képződő CaCO₃ részecskék méretét,
 - úgy viselkedik mint egy „ragasztó”, összefogja a nanorészecskéket egymással és gömb alakú mikrorészecskéket formál.



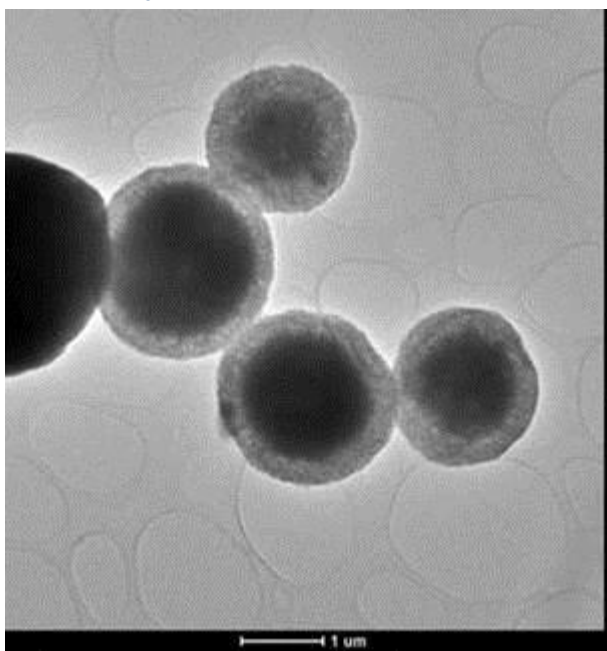
(a) Kitozán, (b) Na-alginát és (c) karboximetil-celluláz (CMC) szerkezeti képlete

Kitozán alginát „hollow spheres” előállítása



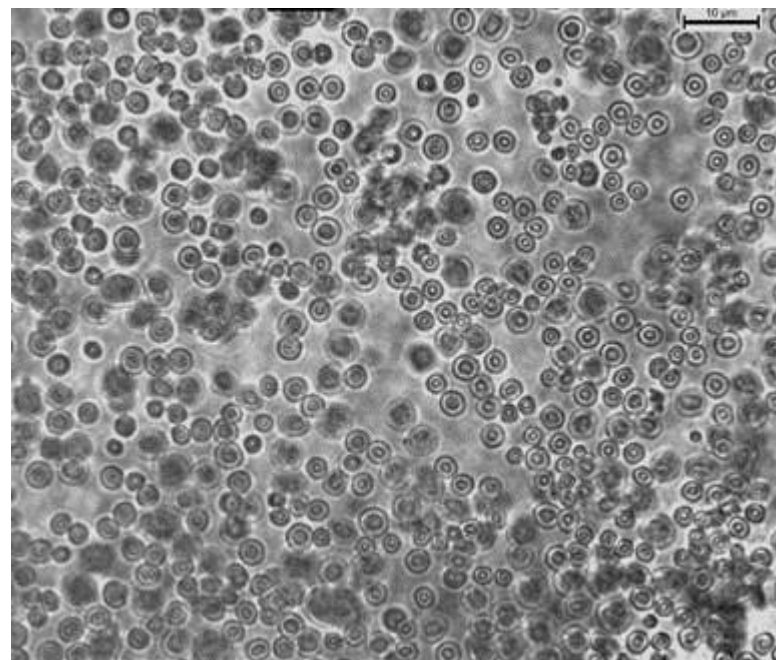


$\text{CaCO}_3(\text{CMC})$ templát
(Fénymikroszkópos felvétel)

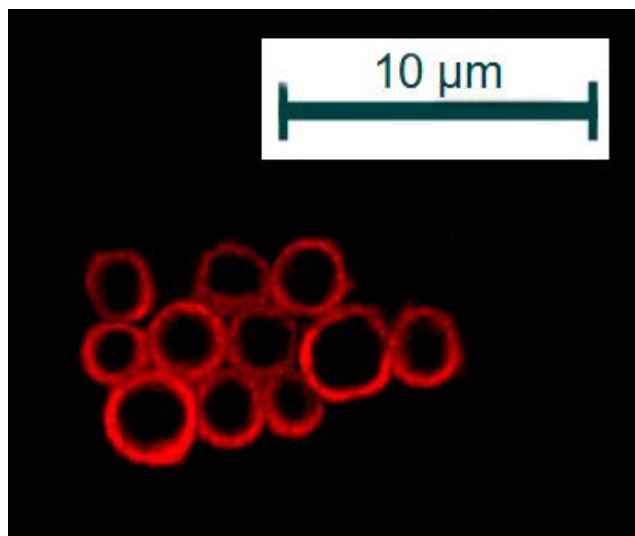


$\text{CaCO}_3(\text{CMC})-(\text{chit-alg})_3$ (TEM felvétel)

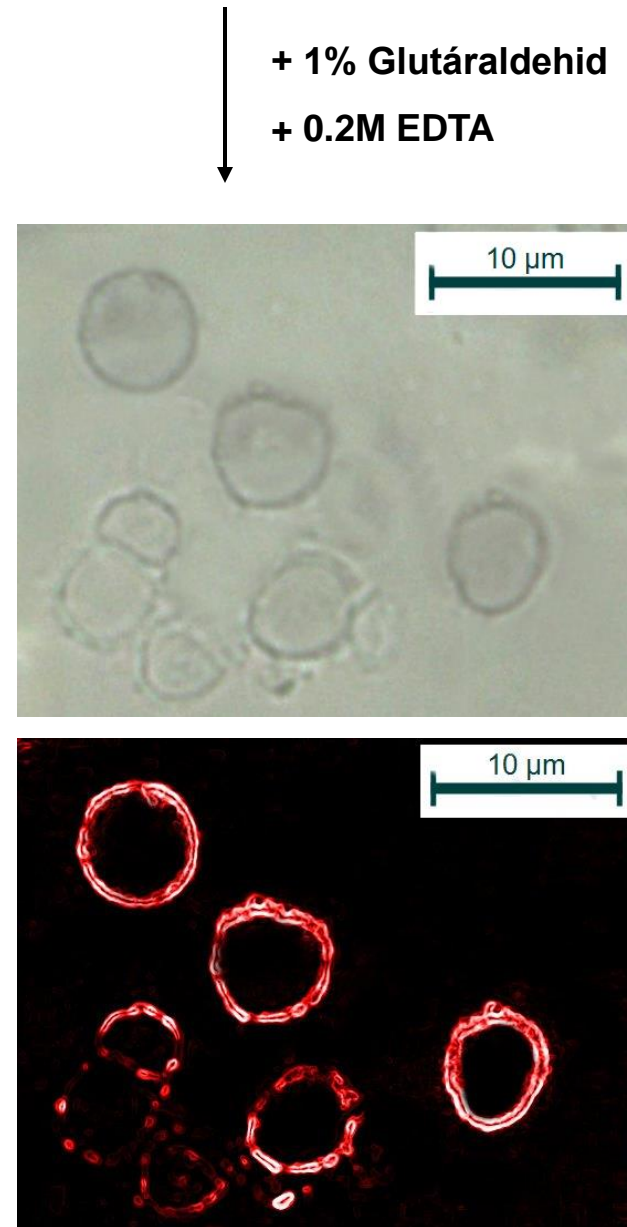
$\text{CaCO}_3(\text{CMC}) + n \times \left\{ \begin{array}{l} 0.05\% \text{ kitozán (0.5M NaCl, pH=5)} \\ 0.1\% \text{ alginát(0.5M NaCl, pH=5)} \end{array} \right\}$



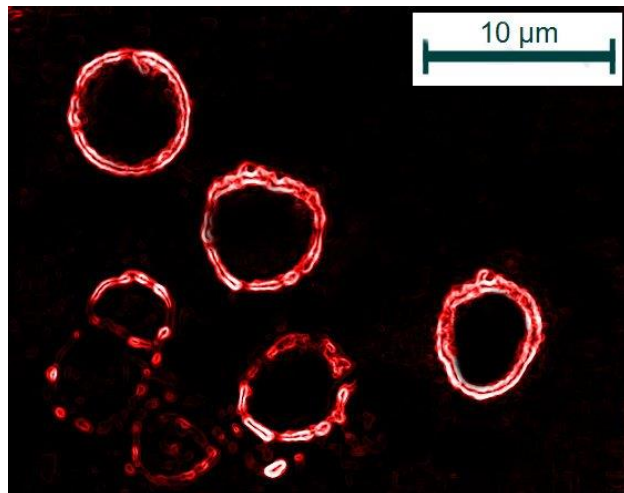
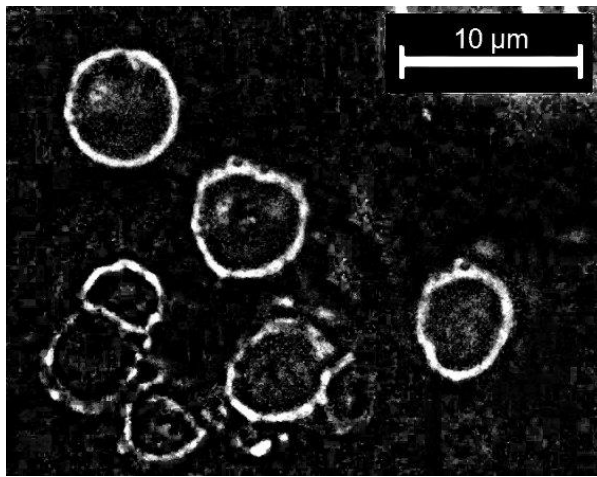
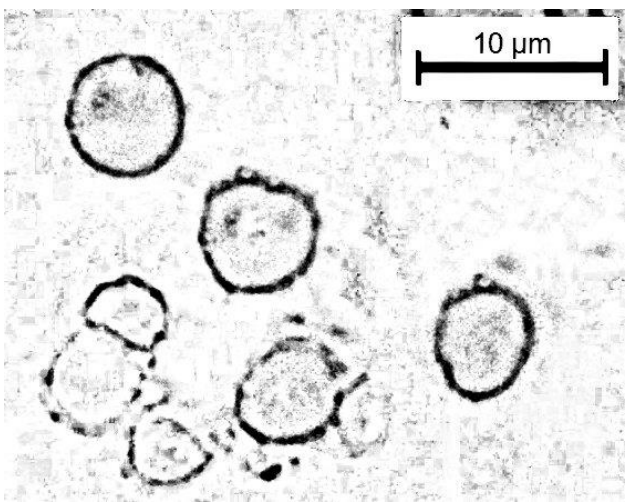
$\text{CaCO}_3(\text{CMC})-(\text{chit-alg})_3$
(Fénymikroszkópos felvétel)

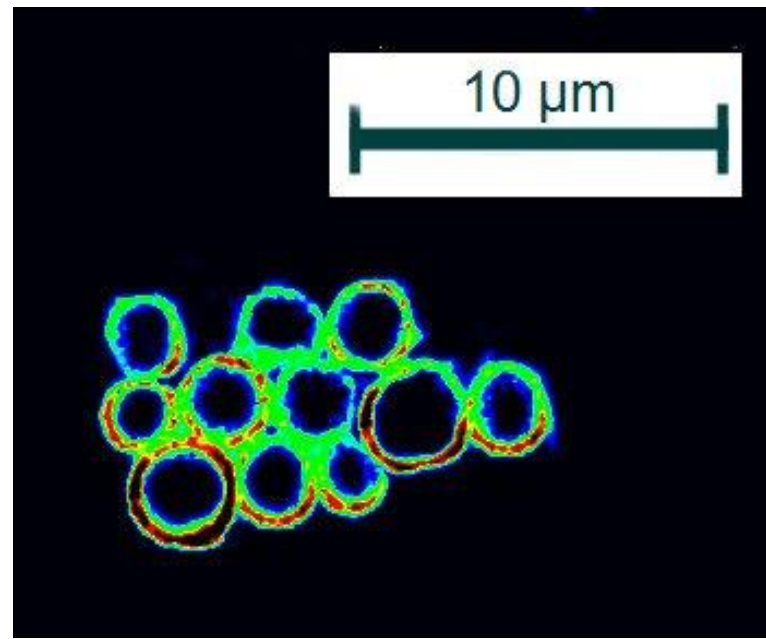
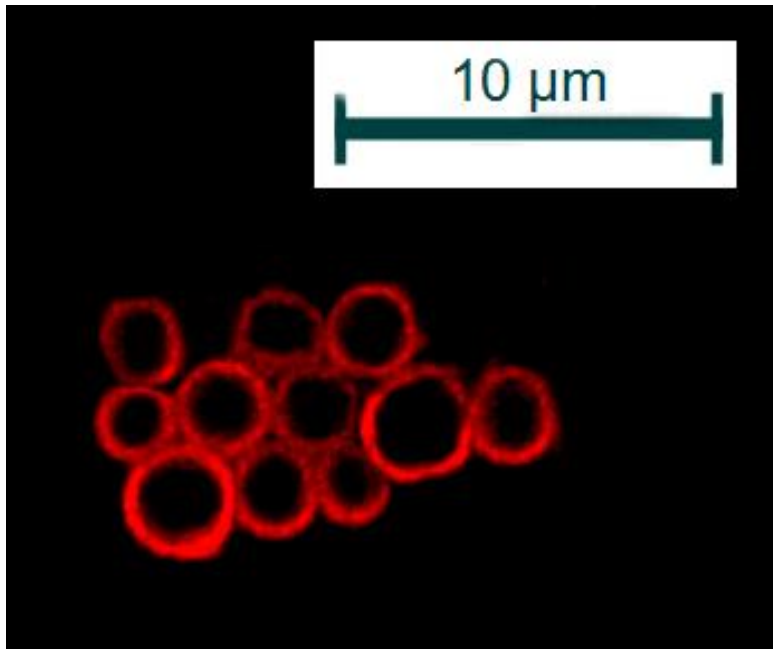


$\text{CaCO}_3(\text{CMC})/(\text{Chit-Alg})_3$ – Rhodamin B
fénymikroszkópos felvétele



(chit-alg)₃ hollow spheres
fénymikroszkópos felvétele





Munkatársak

MTA-SZTE Szupramolekuláris és Nanoszerkezetű Anyagok Kutatócsoport



Juhászné
Dr. Csapó Edit



Dr. Benkő Mária



Dr. Majzik Andrea



Garabné Ábrahám Nóra



Juhász Ádám



Varga Viktória



Dr. Janovák László



Tallóssy Szabolcs



Szalmáné
Ménési Judit



Veres Ágnes



Dr. Sebők Dániel



Varga Noémi



Köszönöm a megtisztelő
figyelemet!



